« Propriétés et évolution des galaxies »

David Elbaz (delbaz@cea.fr)

Service d'Astrophysique - CEA Saclay Tel: 01 69 08 54 39

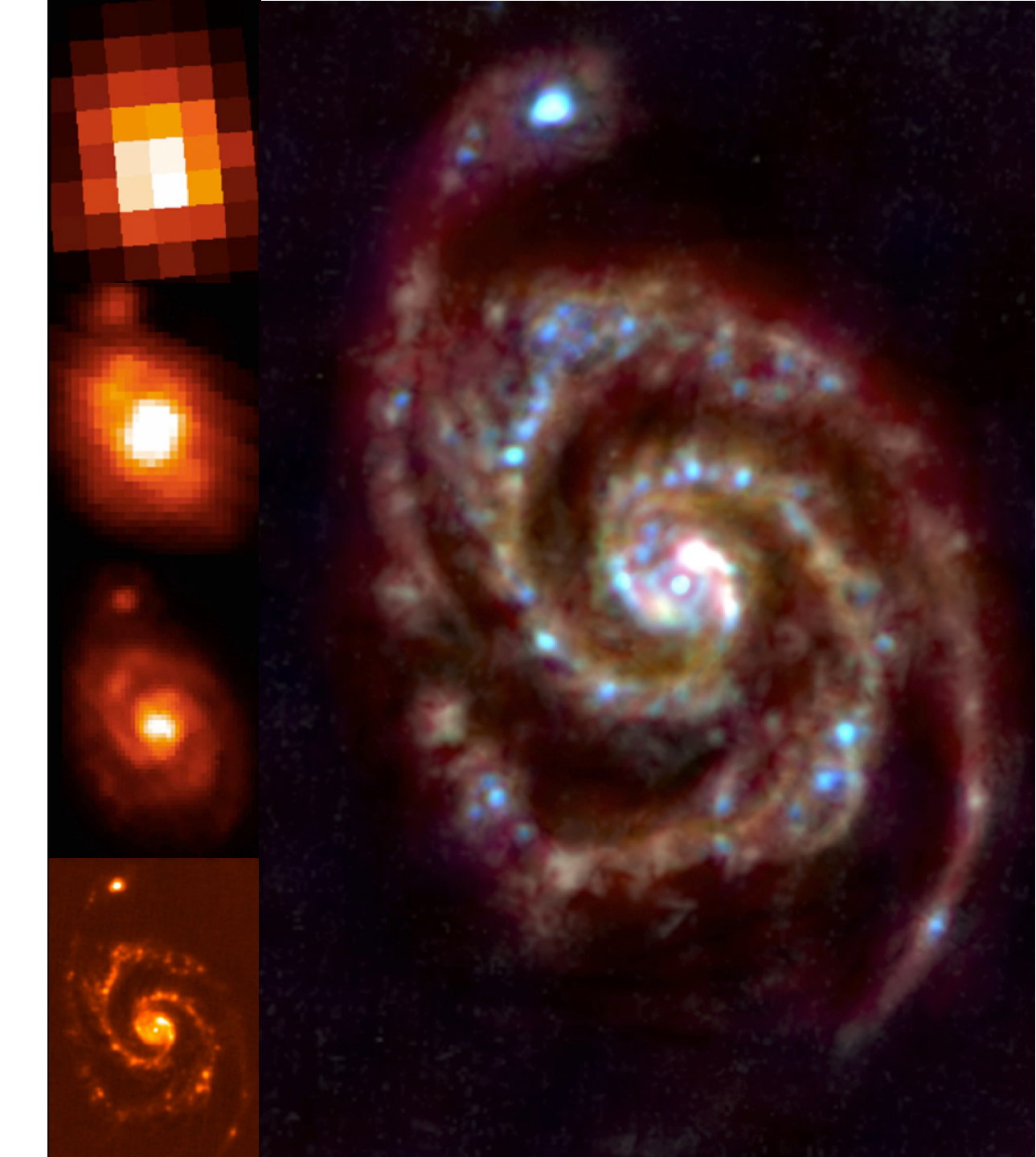
Galaxies infrarouges et fond diffus cosmologique infrarouge

Master Recherche M2 Astronomie & Astrophysique Enseignement thématique des parcours M2 - Galaxies http://david.elbaz3.free.fr/master_m2

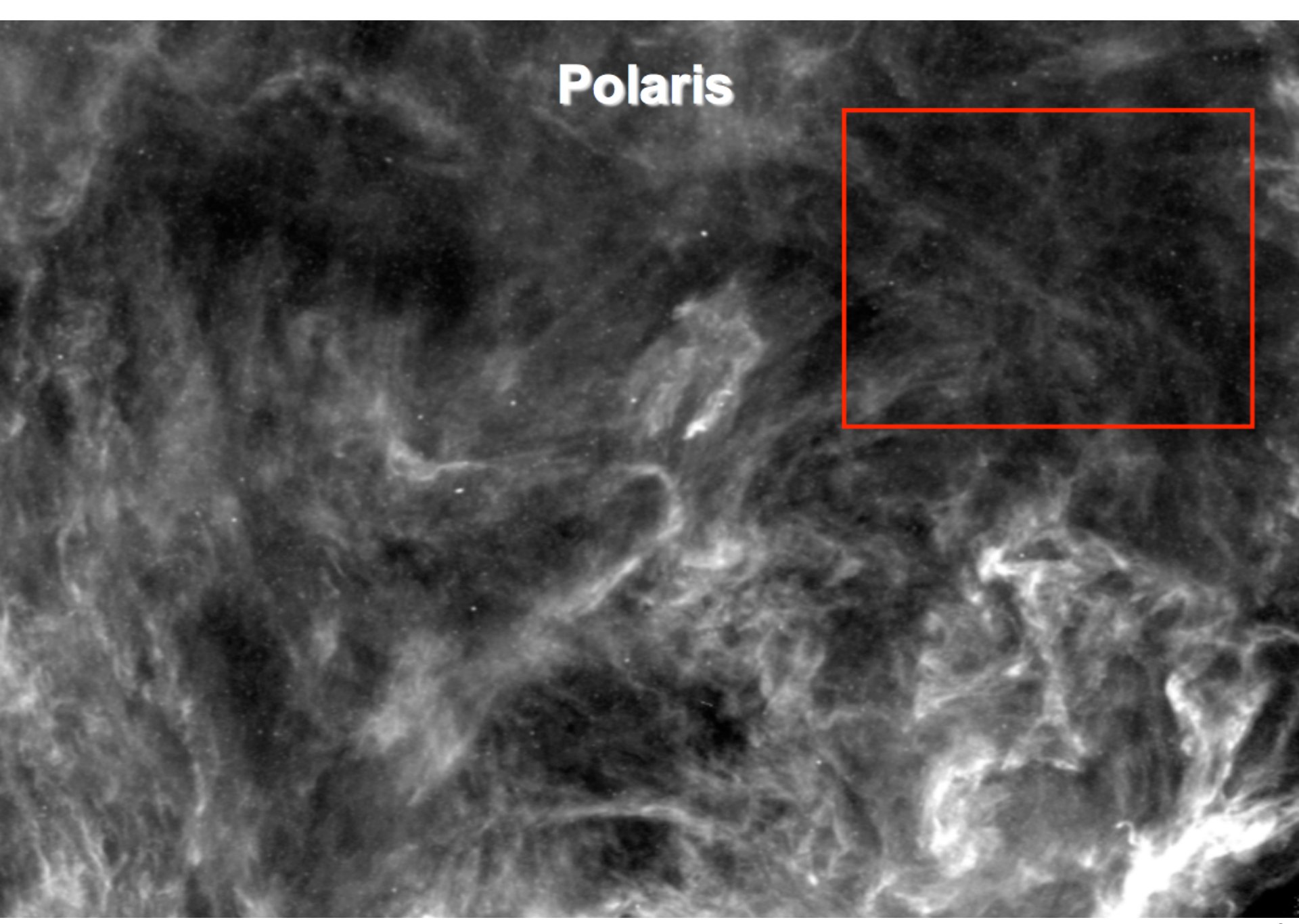


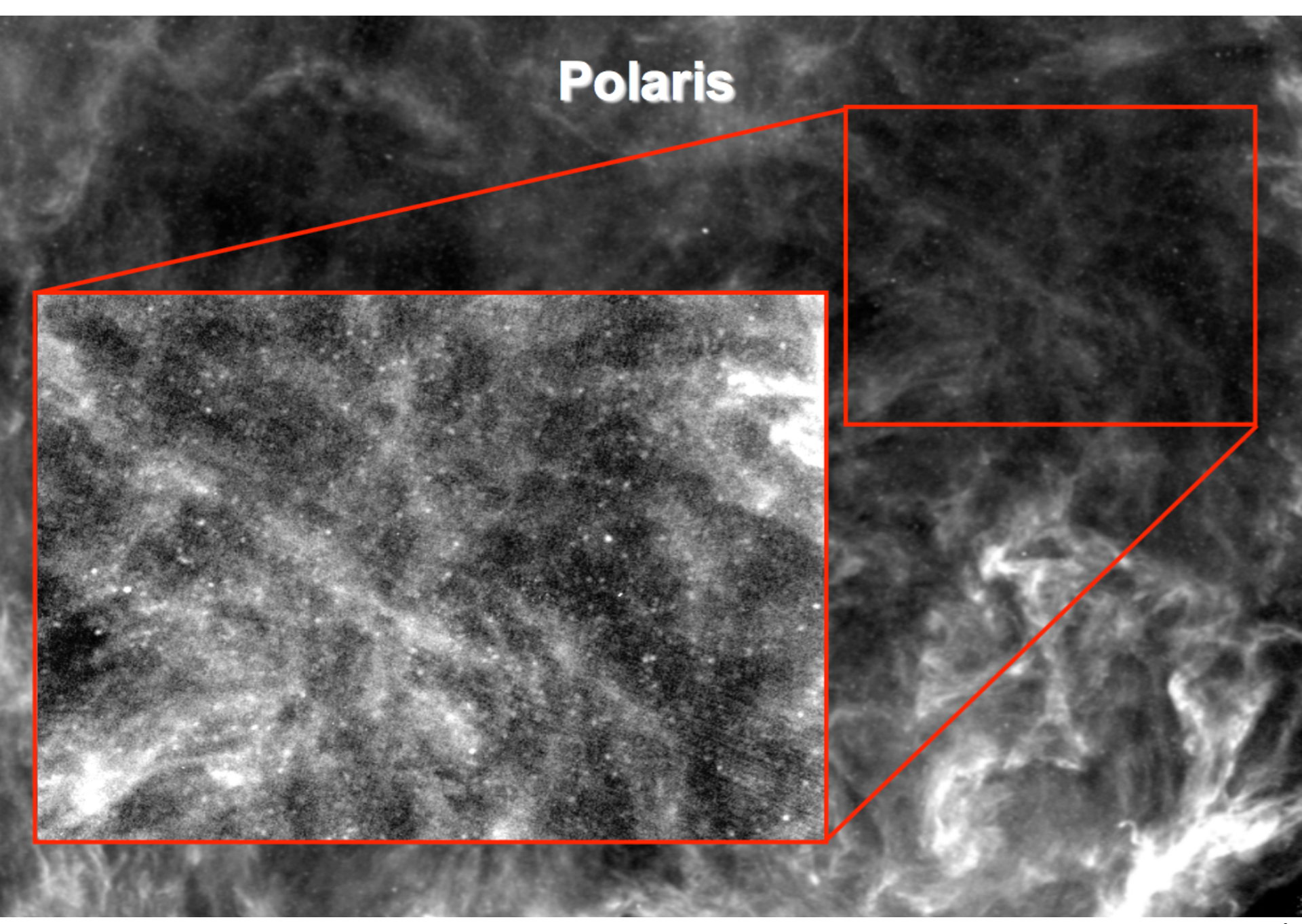


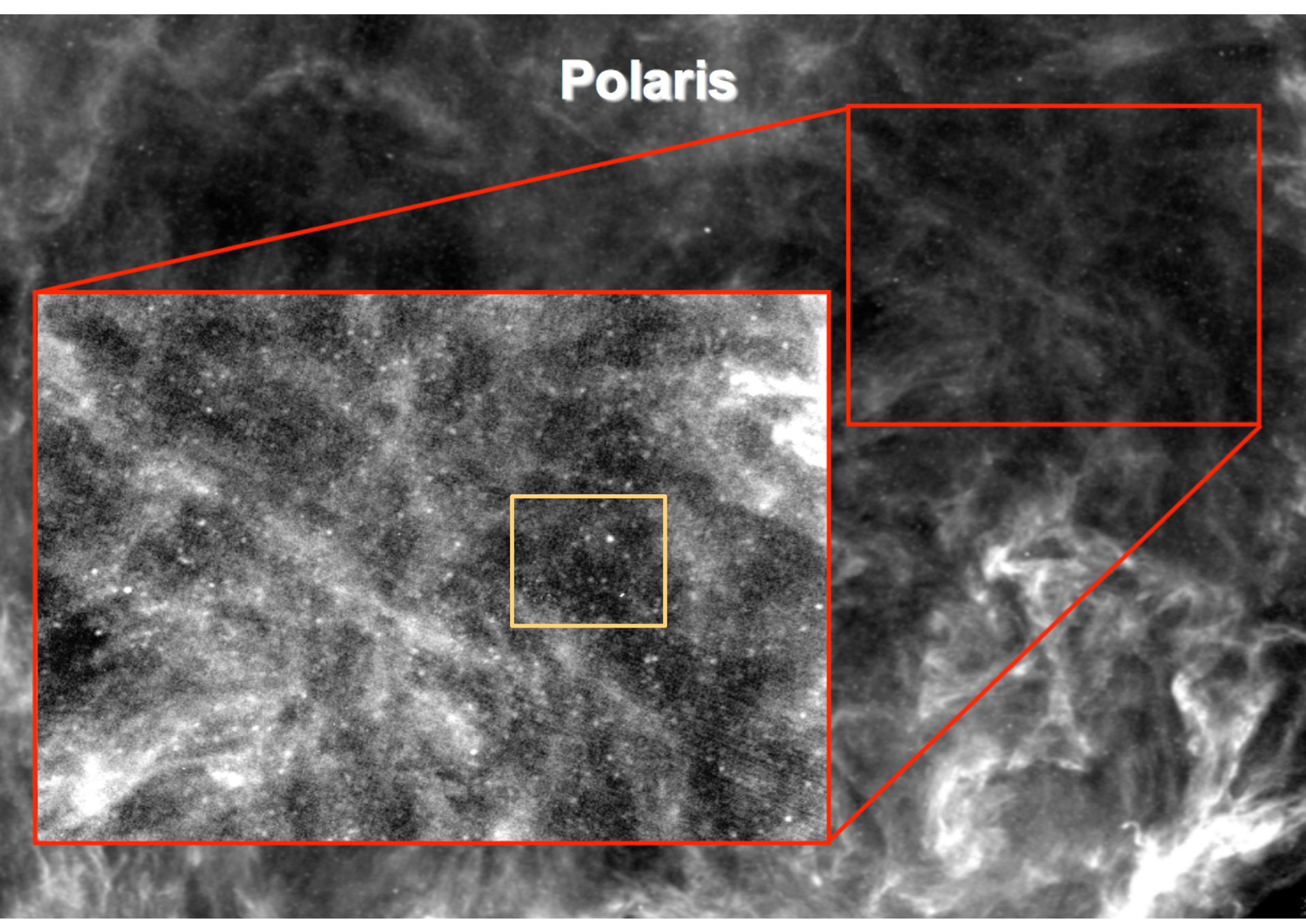


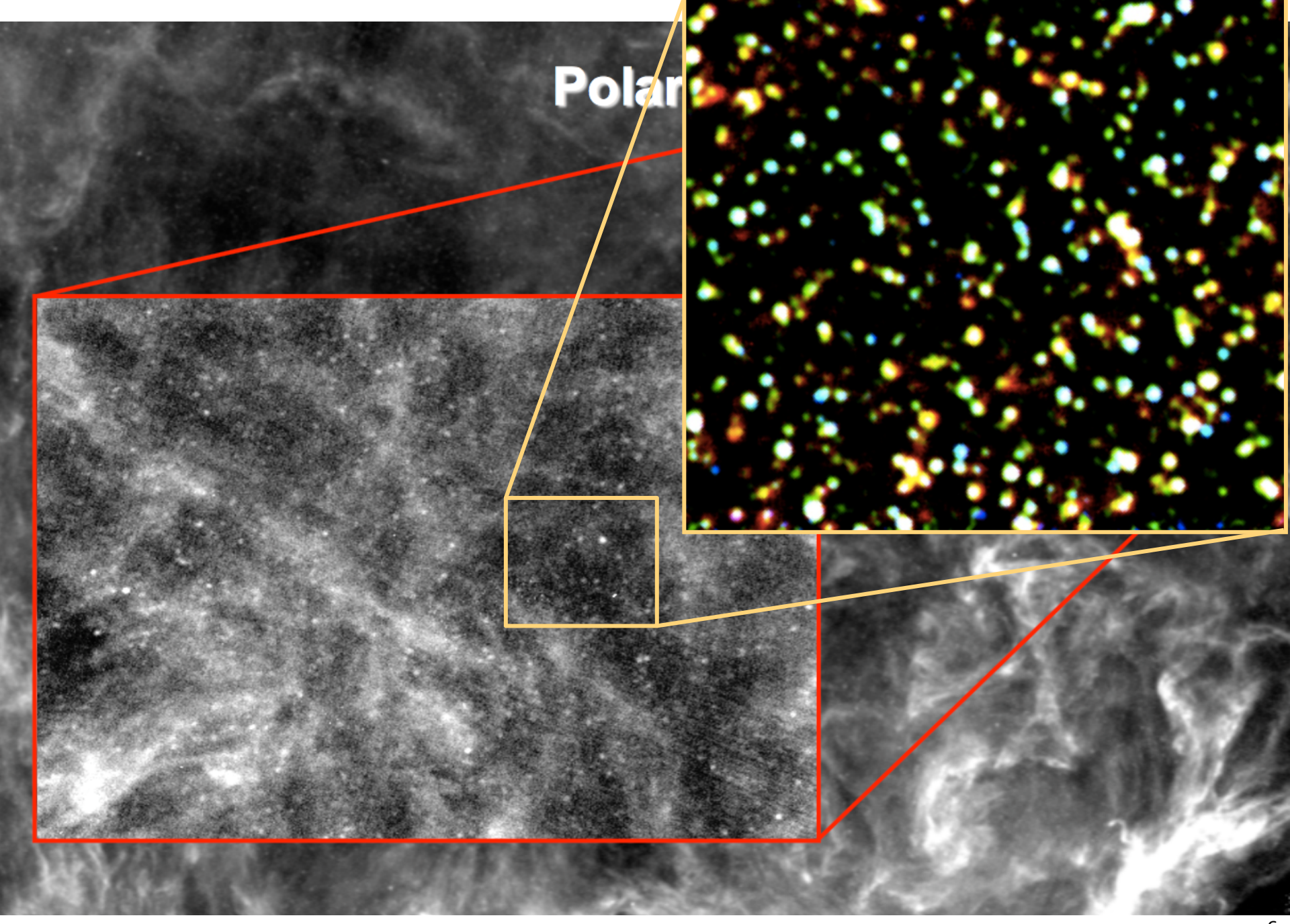


David Elbaz - ET12 master M2 2016

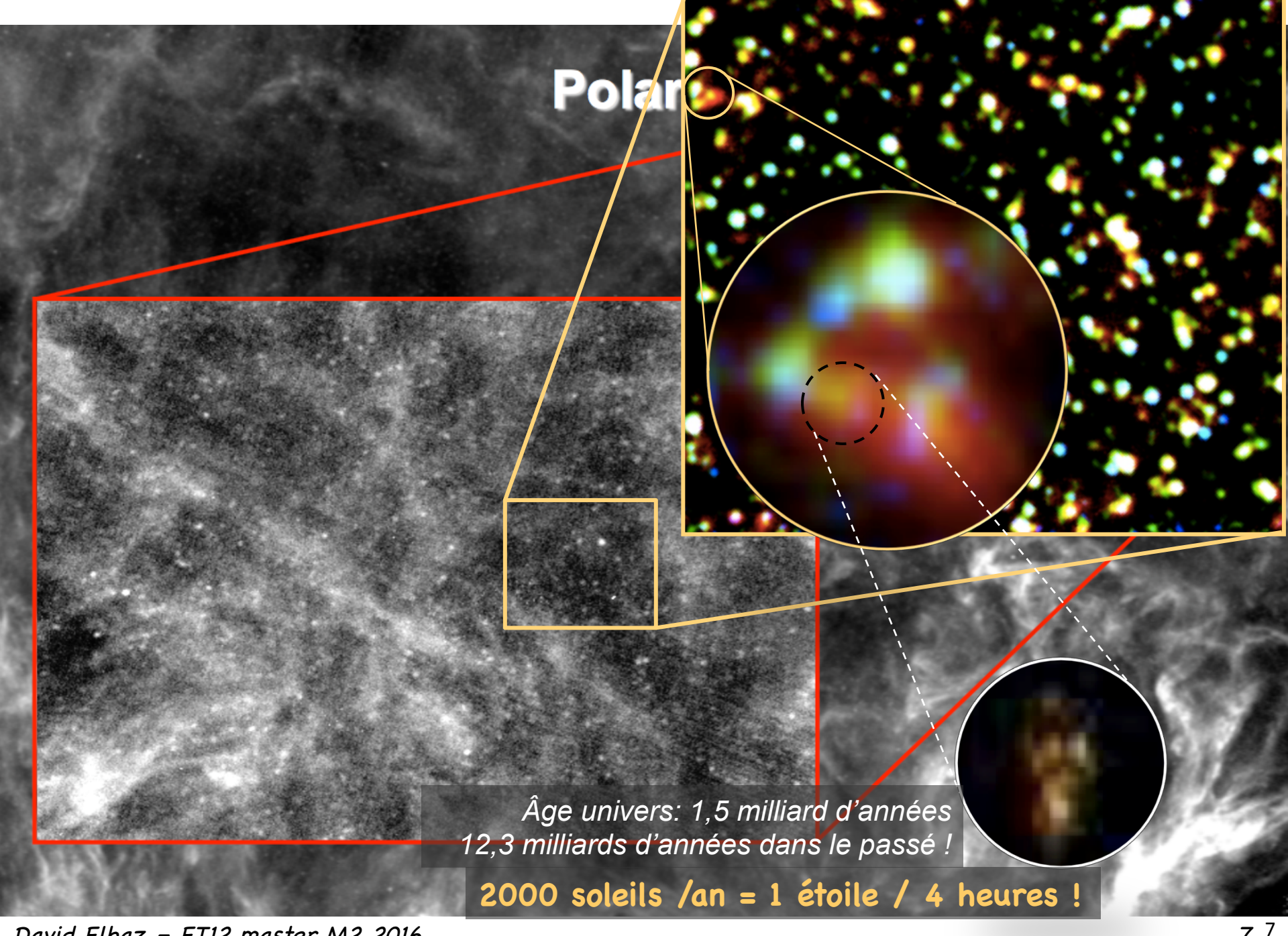




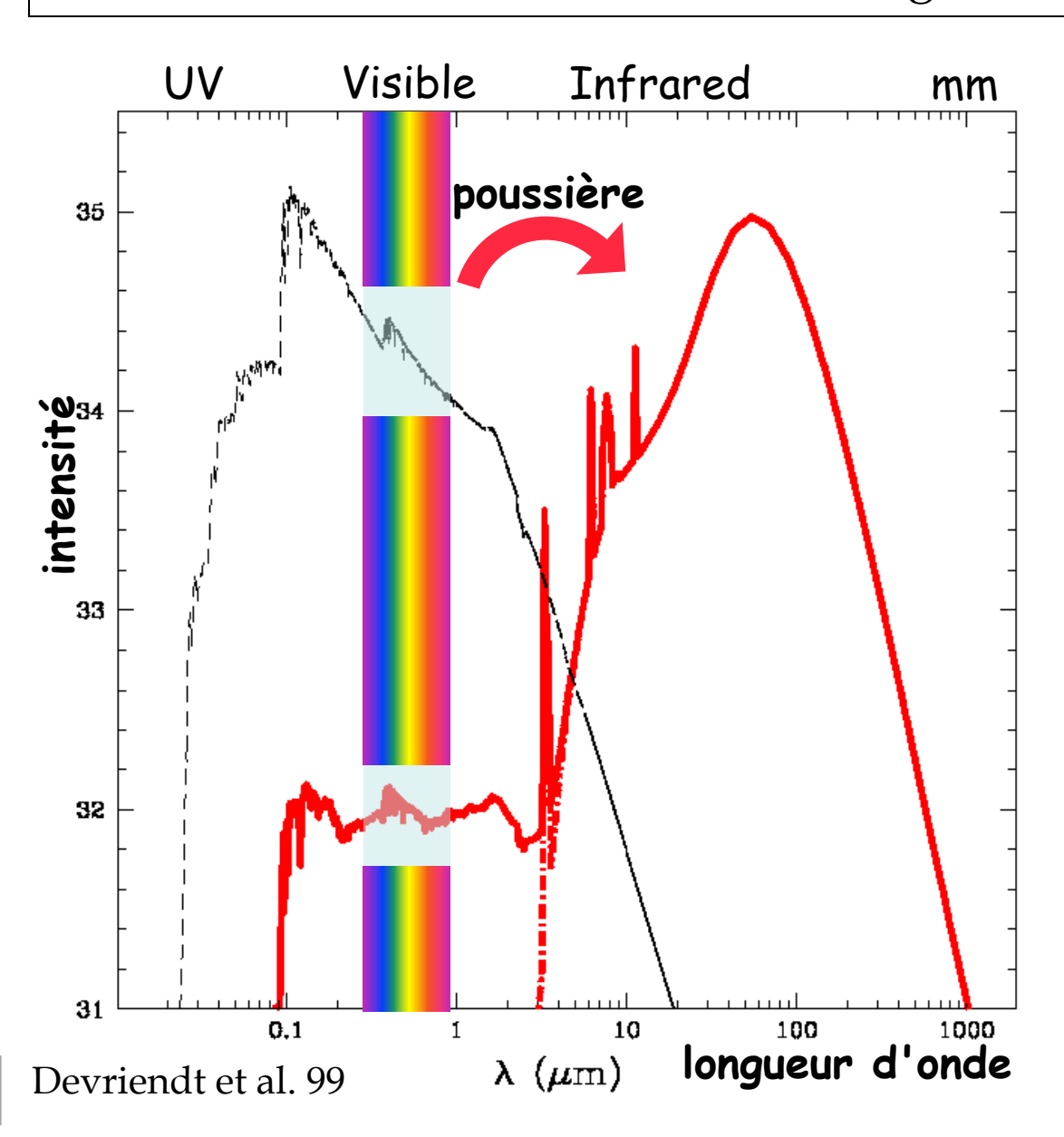




David Elbaz - ET12 master M2 2016



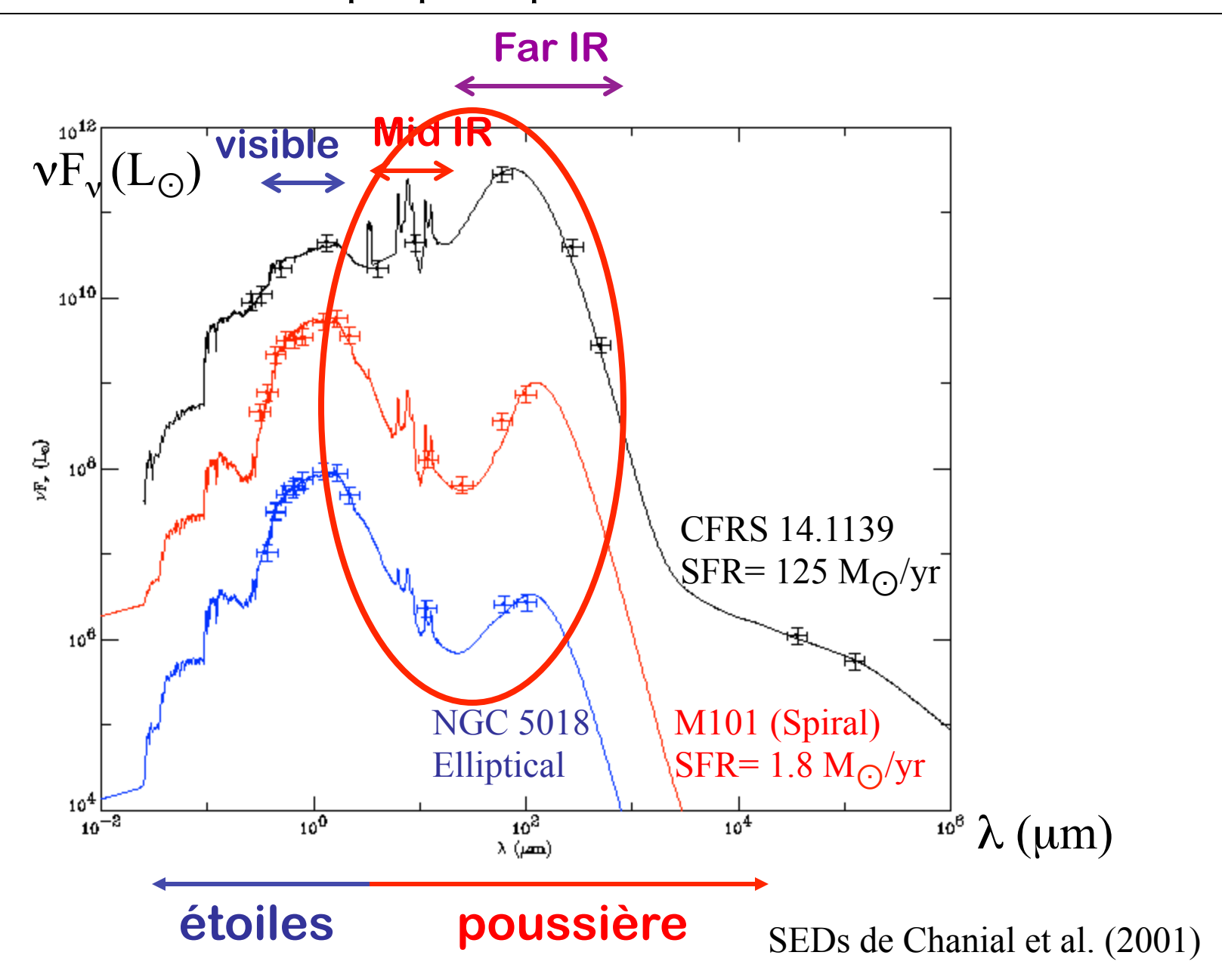
Emission infrarouge des galaxies



La poussière absorbe les photons visibles et UV, puis produit un rayonnement "thermique" dans l'infrarouge:

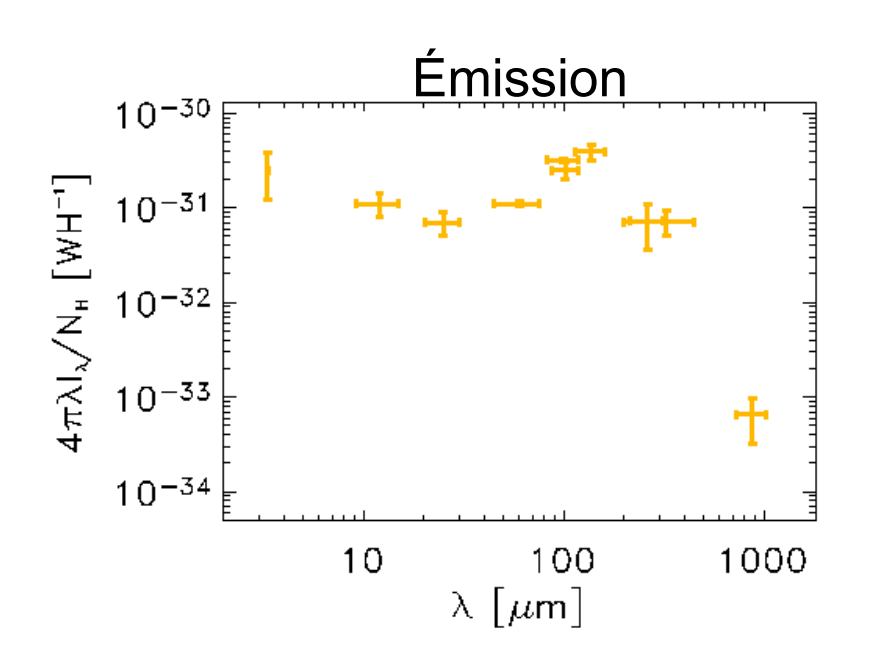
- corps "gris" dans l'IR lointain (>40 μ m) rayonnant à T~35 K (gros grains de poussière, BG), i.e. pic à λ ~80 μ m.
- émission hors équilibre thermique (chauffage impulsion nel) des petits grains de poussière (VSGs) responsables de la montée dans l'UV de la courbe d'extinction (T~150 K, λ_{max} ~80 μ m)
- raies larges en émission dues à des molécules complexes (PAHs= Polycyclic Aromatic Hydrocarbons) à 3.3, 6.5, 7.7, 8.6, 11.3, 12.7 μm.

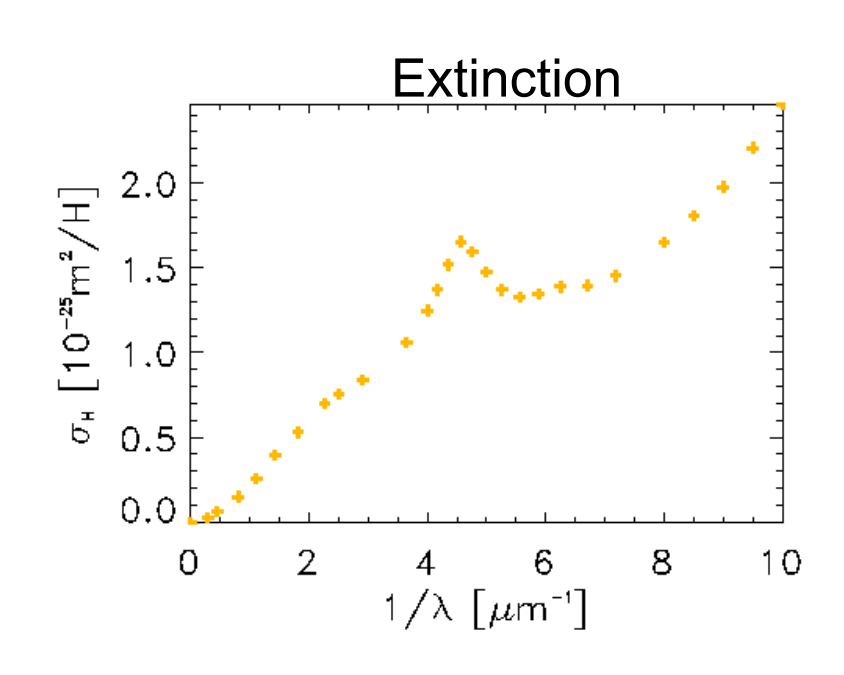
SEDs: Elliptique, Spirale et Starburst



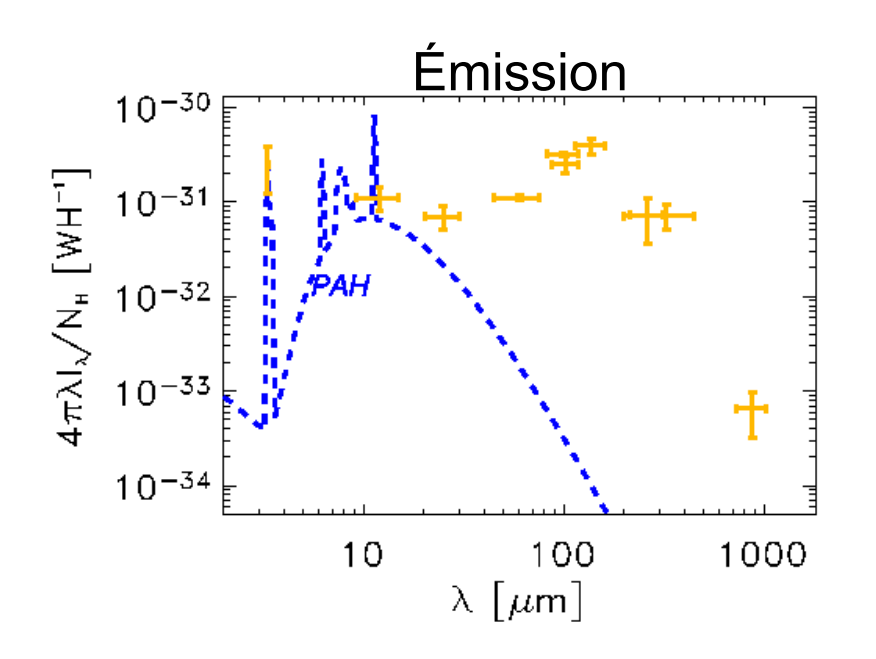
- > Cohérence entre émission et extinction
- > 3 composantes de grains :
 - PAHs (polycyclic aromatic hydrocarbons): *molécules* de tailles 0.4–1.2 nm
 - VSGs (very small grains): *grains* carbonés (1.2 15 nm)
 - BGs (big grains): grains silicatés (15 110 nm)

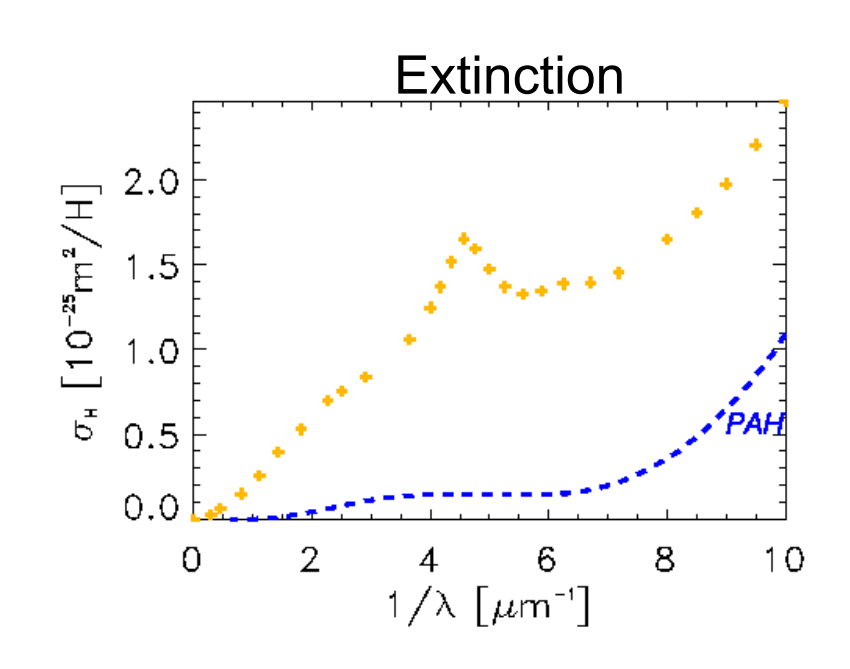
- > Cohérence entre émission et extinction
- > 3 composantes de grains :
 - ■PAHs (polycyclic aromatic hydrocarbons): *molécules* de tailles 0.4 1.2 nm
 - VSGs (very small grains): grains carbonés (1.2 15 nm)
 - BGs (big grains): grains silicatés (15 110 nm)



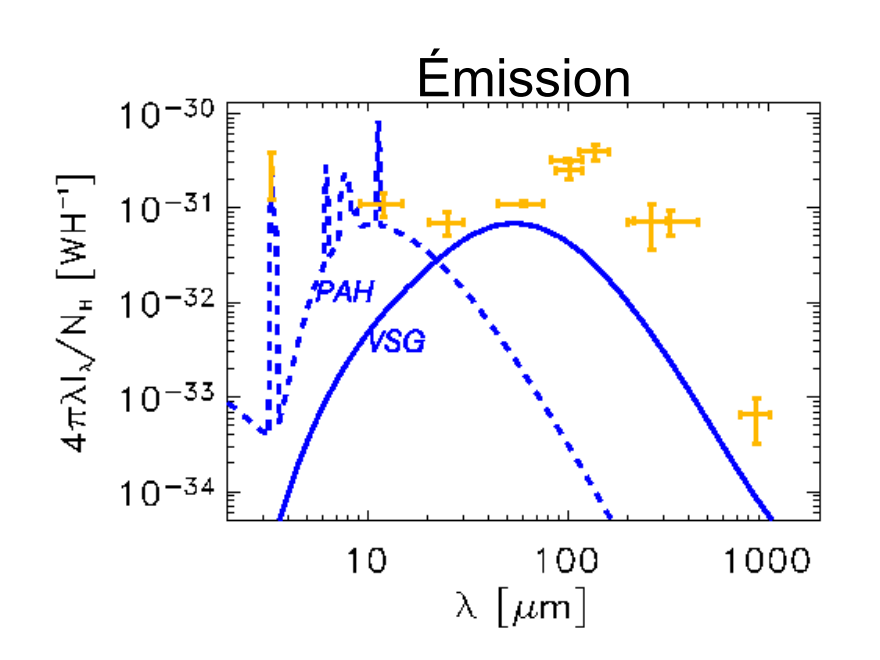


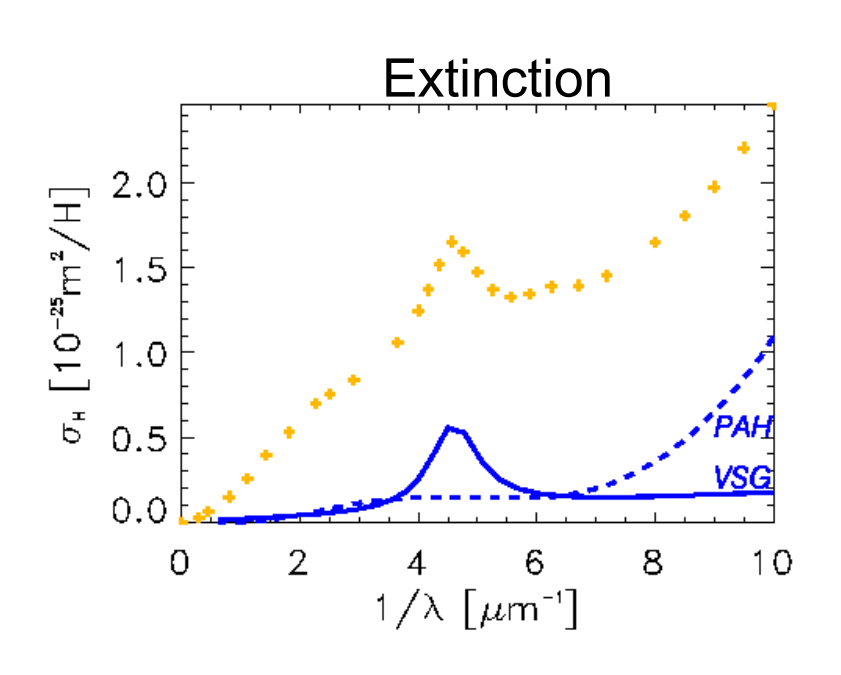
- > Cohérence entre émission et extinction
- > 3 composantes de grains :
 - ■PAHs (polycyclic aromatic hydrocarbons): *molécules* de tailles 0.4 1.2 nm
 - VSGs (very small grains): *grains* carbonés (1.2 15 nm)
 - BGs (big grains): grains silicatés (15 110 nm)



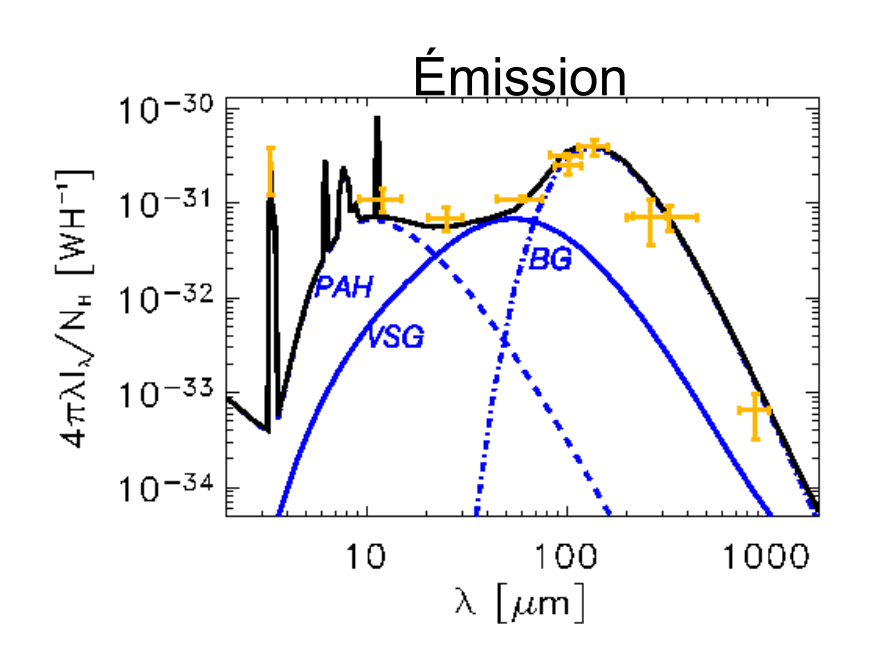


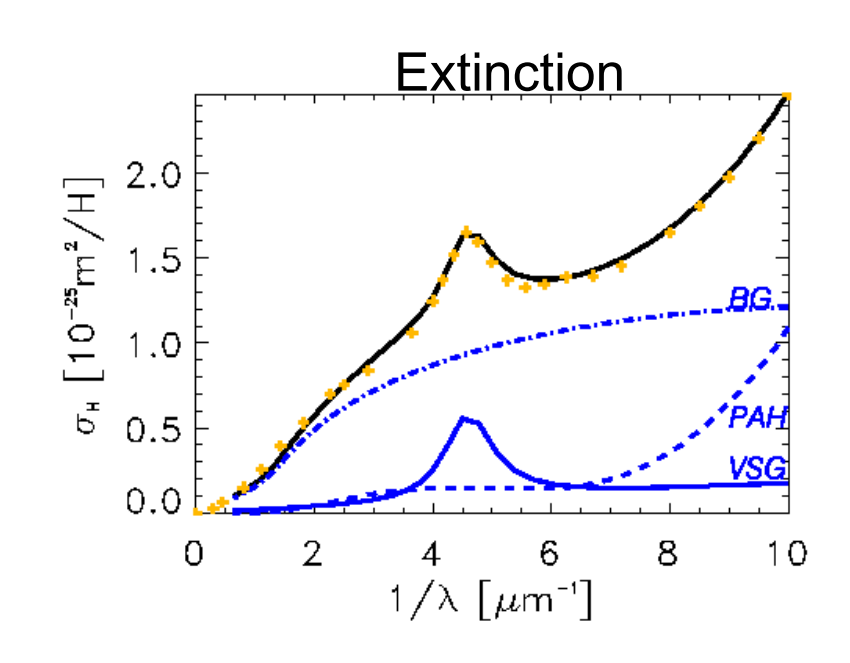
- > Cohérence entre émission et extinction
- > 3 composantes de grains :
 - ■PAHs (polycyclic aromatic hydrocarbons): *molécules* de tailles 0.4 1.2 nm
 - VSGs (very small grains): *grains* carbonés (1.2 15 nm)
 - BGs (big grains): grains silicatés (15 110 nm)



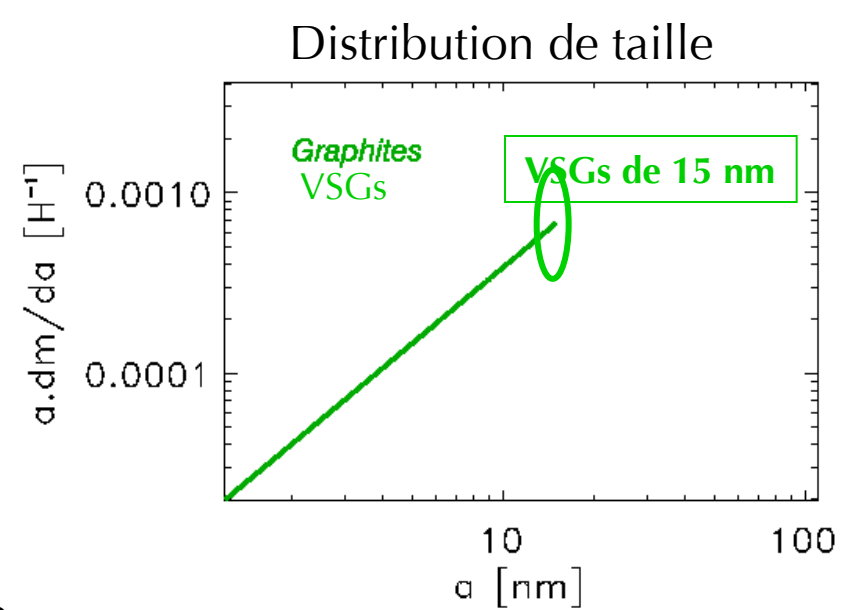


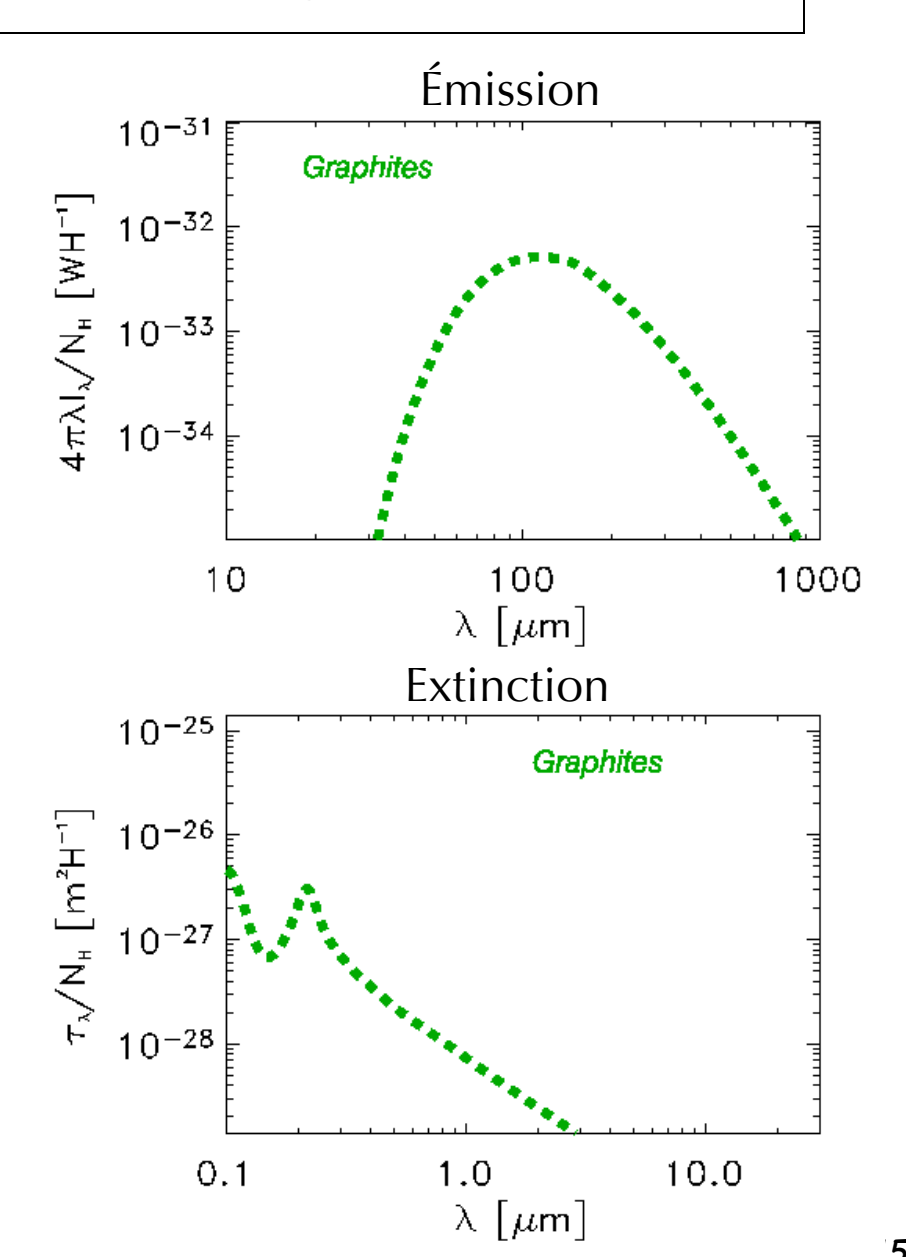
- > Cohérence entre émission et extinction
- > 3 composantes de grains :
 - ■PAHs (polycyclic aromatic hydrocarbons): *molécules* de tailles 0.4 1.2 nm
 - VSGs (very small grains): *grains* carbonés (1.2 15 nm)
 - BGs (big grains): grains silicatés (15 110 nm)



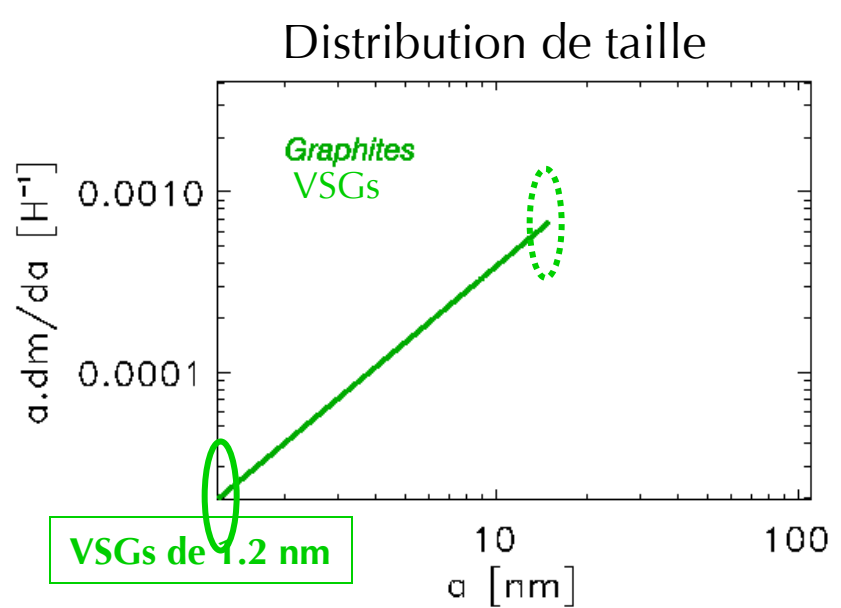


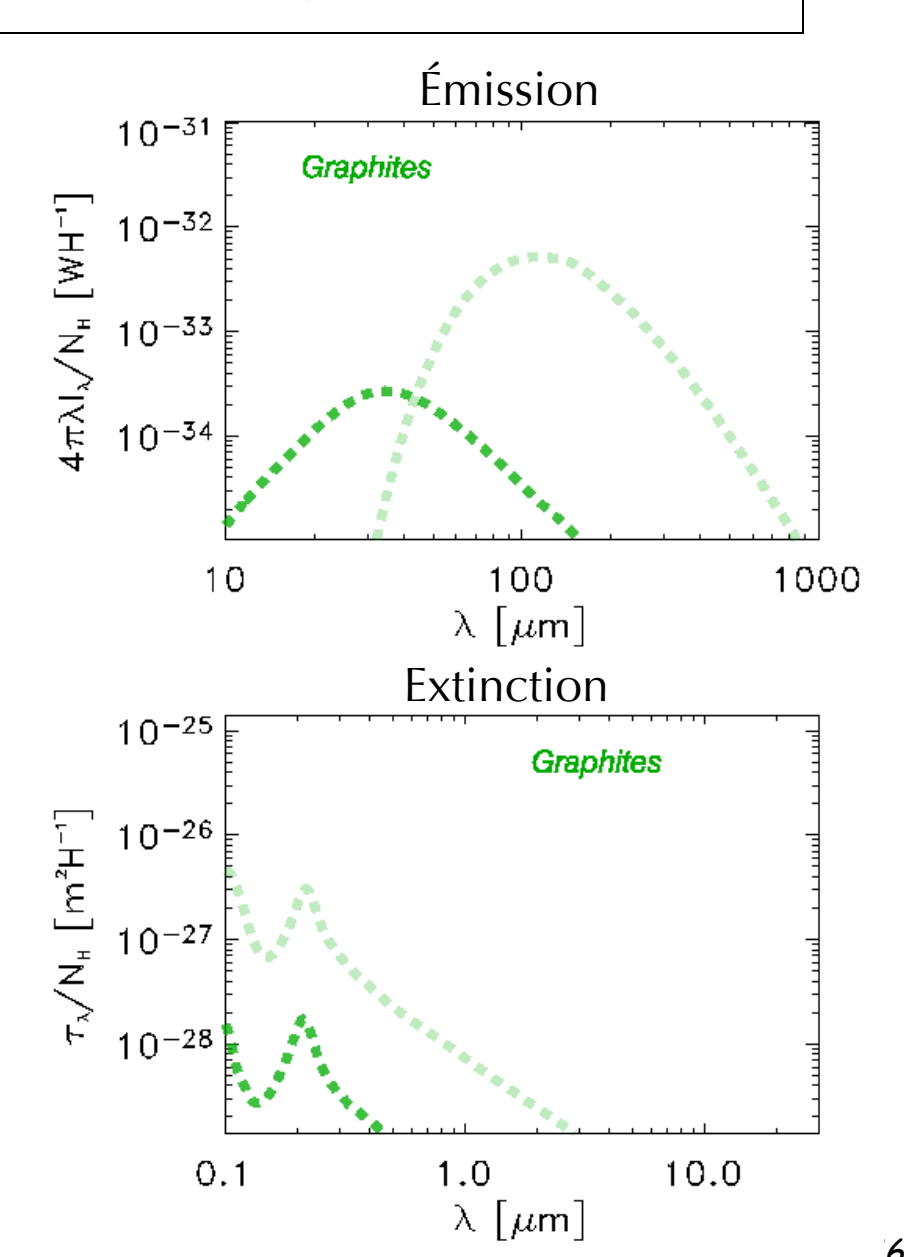
- > déplétion des éléments lourds
- > caractéristiques spectrales observées
- présence dans les météorites



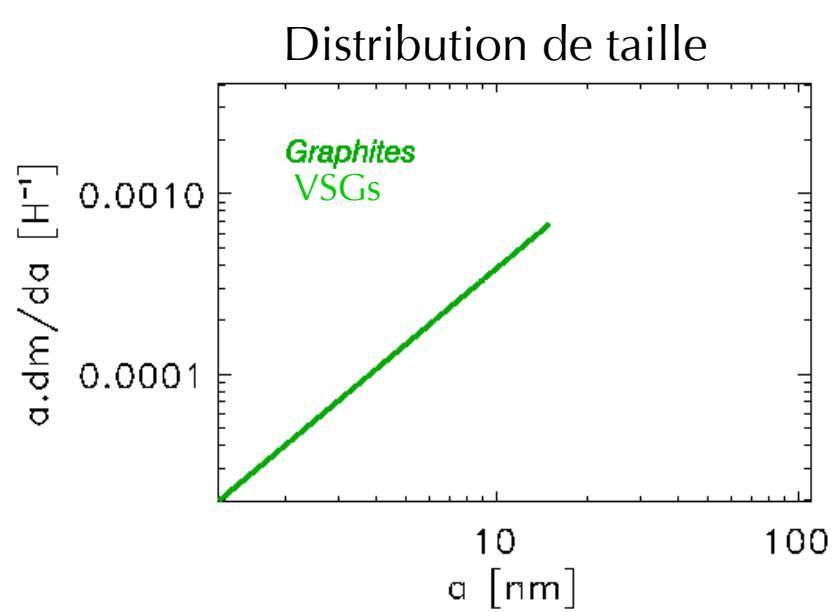


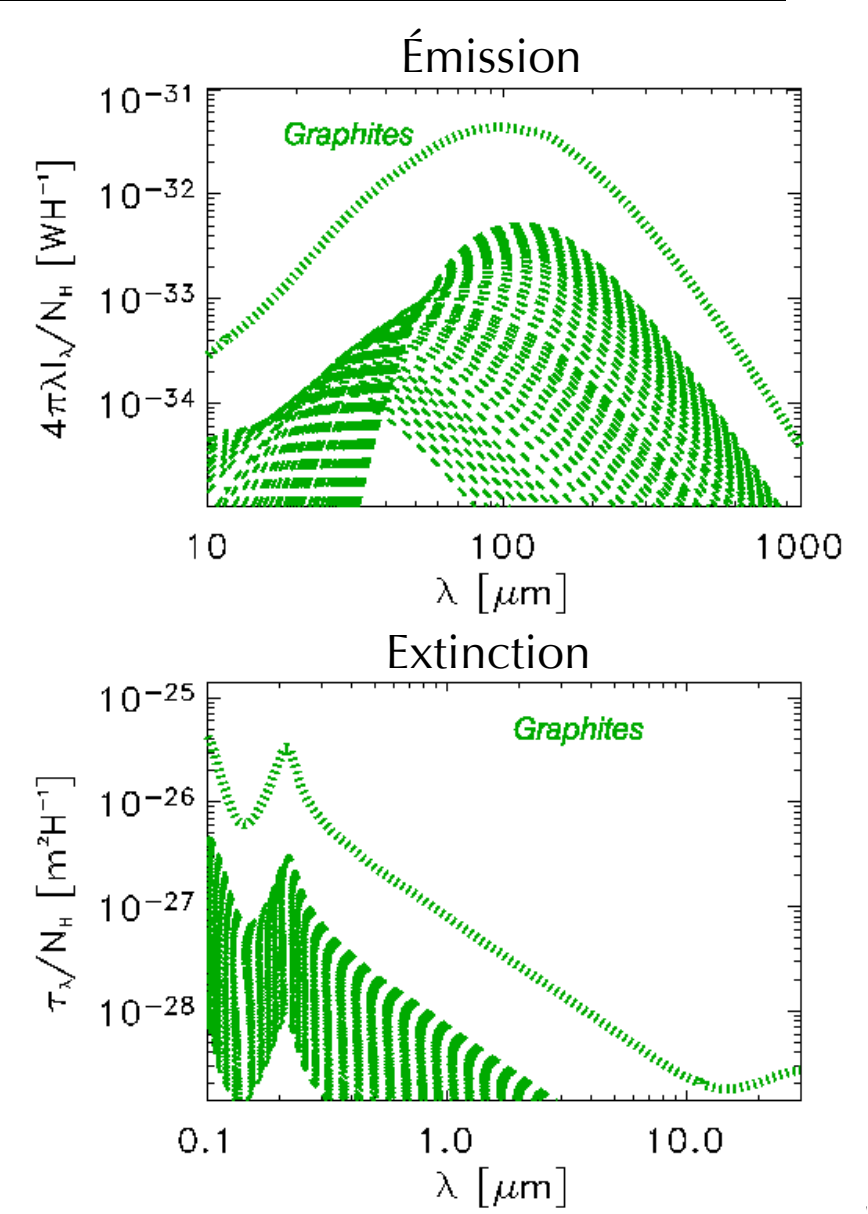
- > déplétion des éléments lourds
- > caractéristiques spectrales observées
- présence dans les météorites



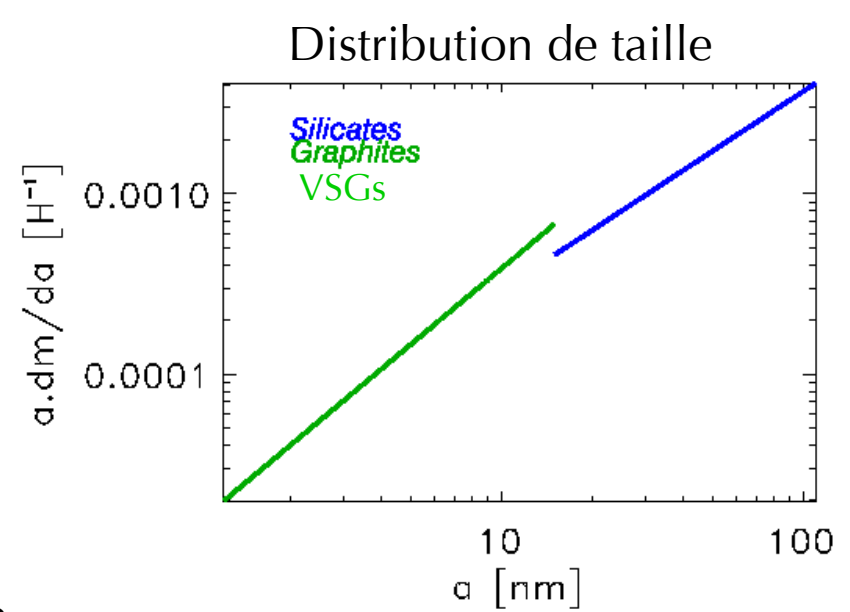


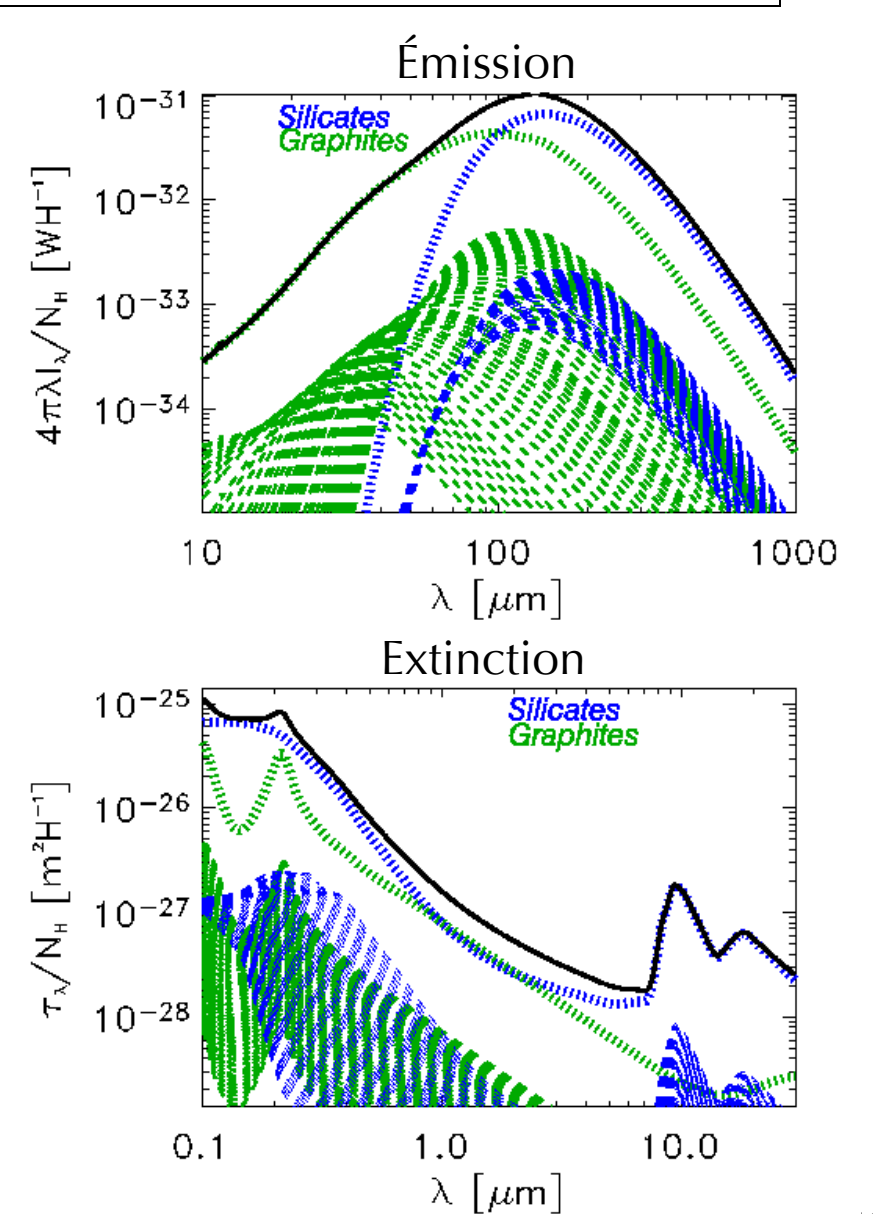
- > déplétion des éléments lourds
- > caractéristiques spectrales observées
- présence dans les météorites





- > déplétion des éléments lourds
- > caractéristiques spectrales observées
- présence dans les météorites



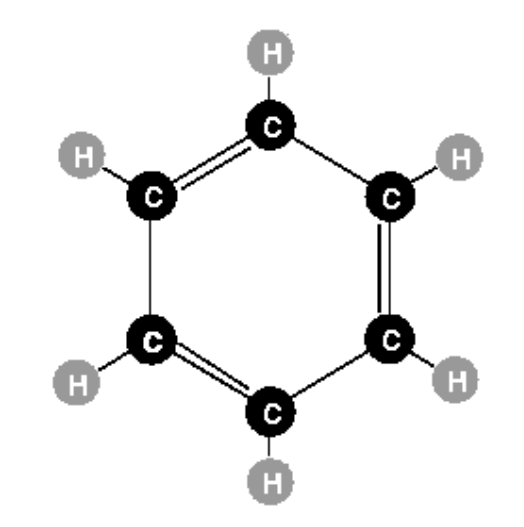


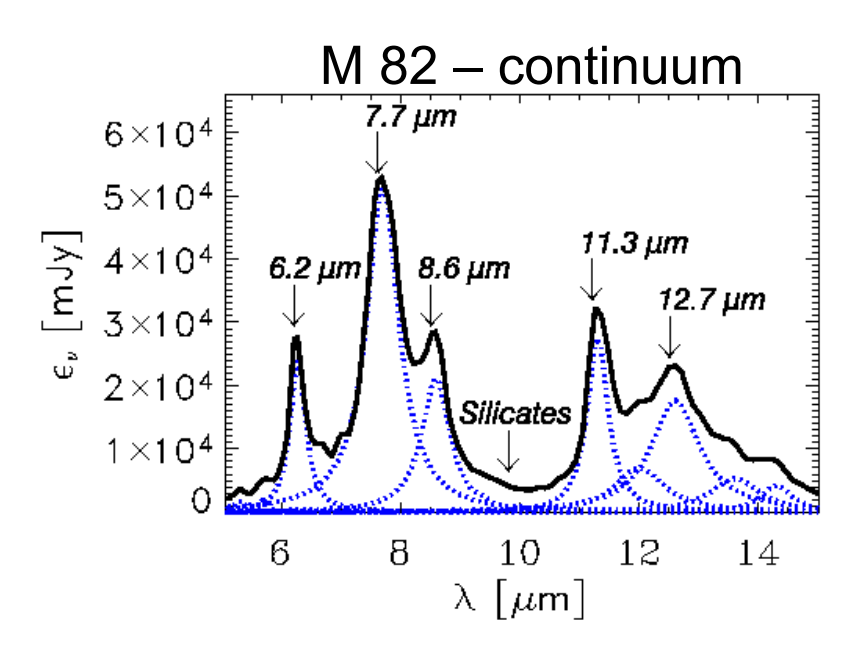
Les PAHs

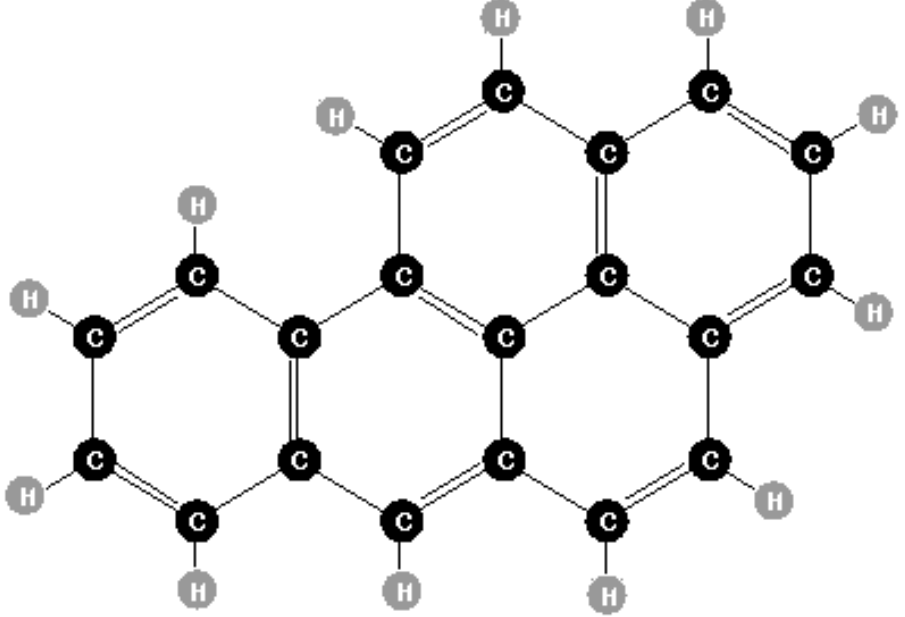
Explication des bandes infrarouges, universelles

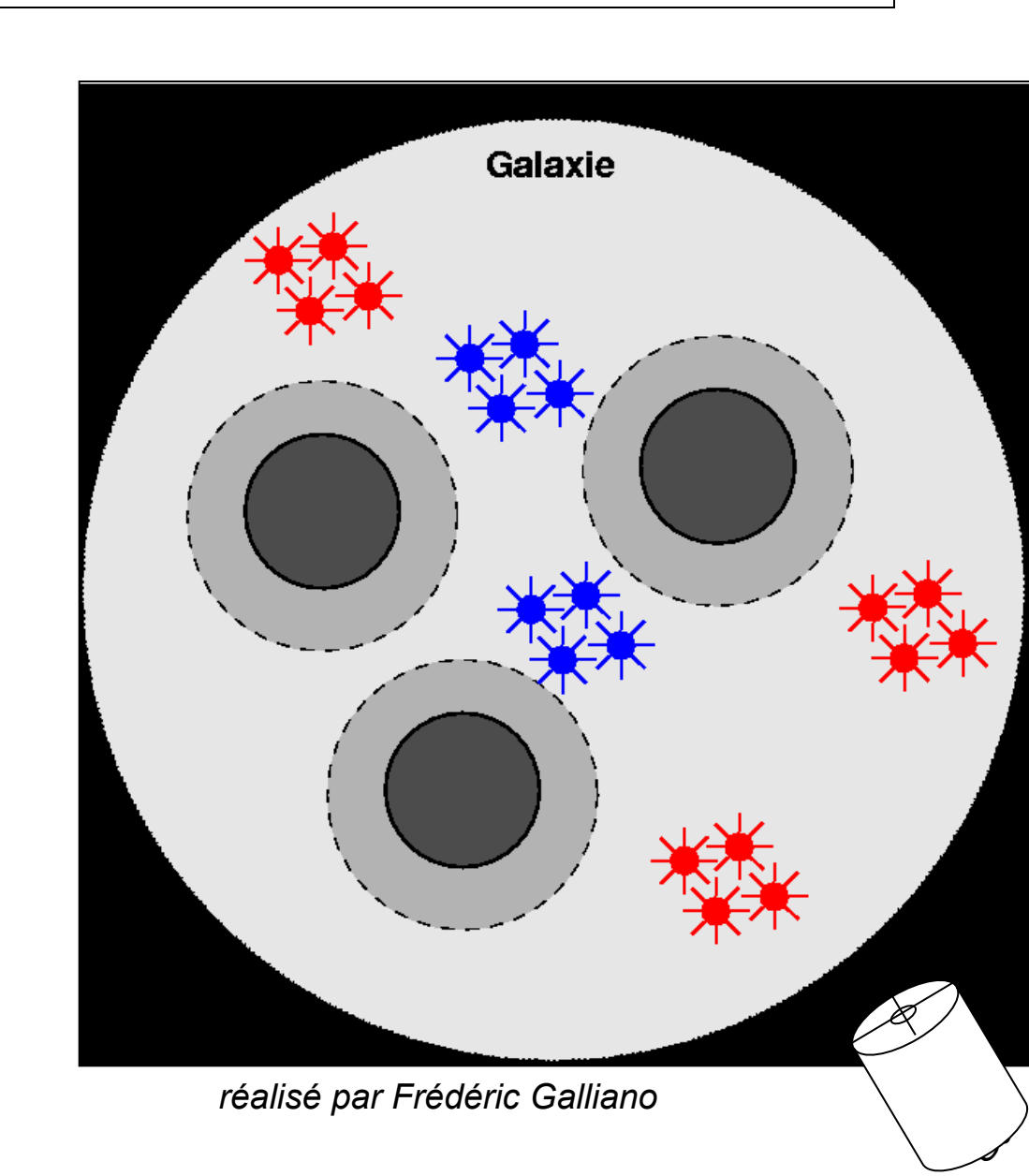
⇒ produites par les modes de vibration C-C et C-H de PAHs chauffés stochastiquement

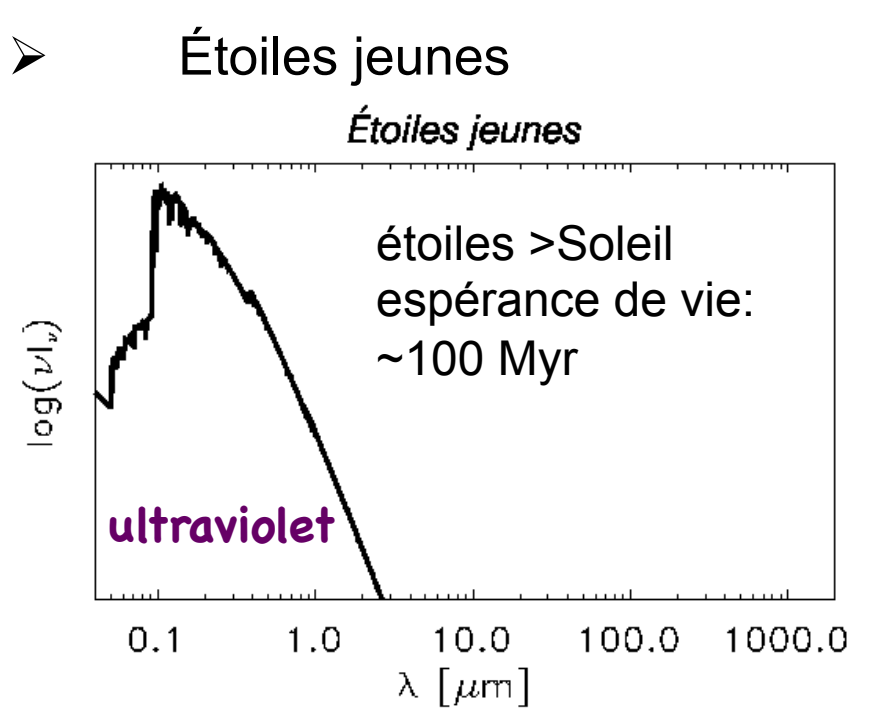
(Léger & Puget, 1984; Allamandola, 1985)

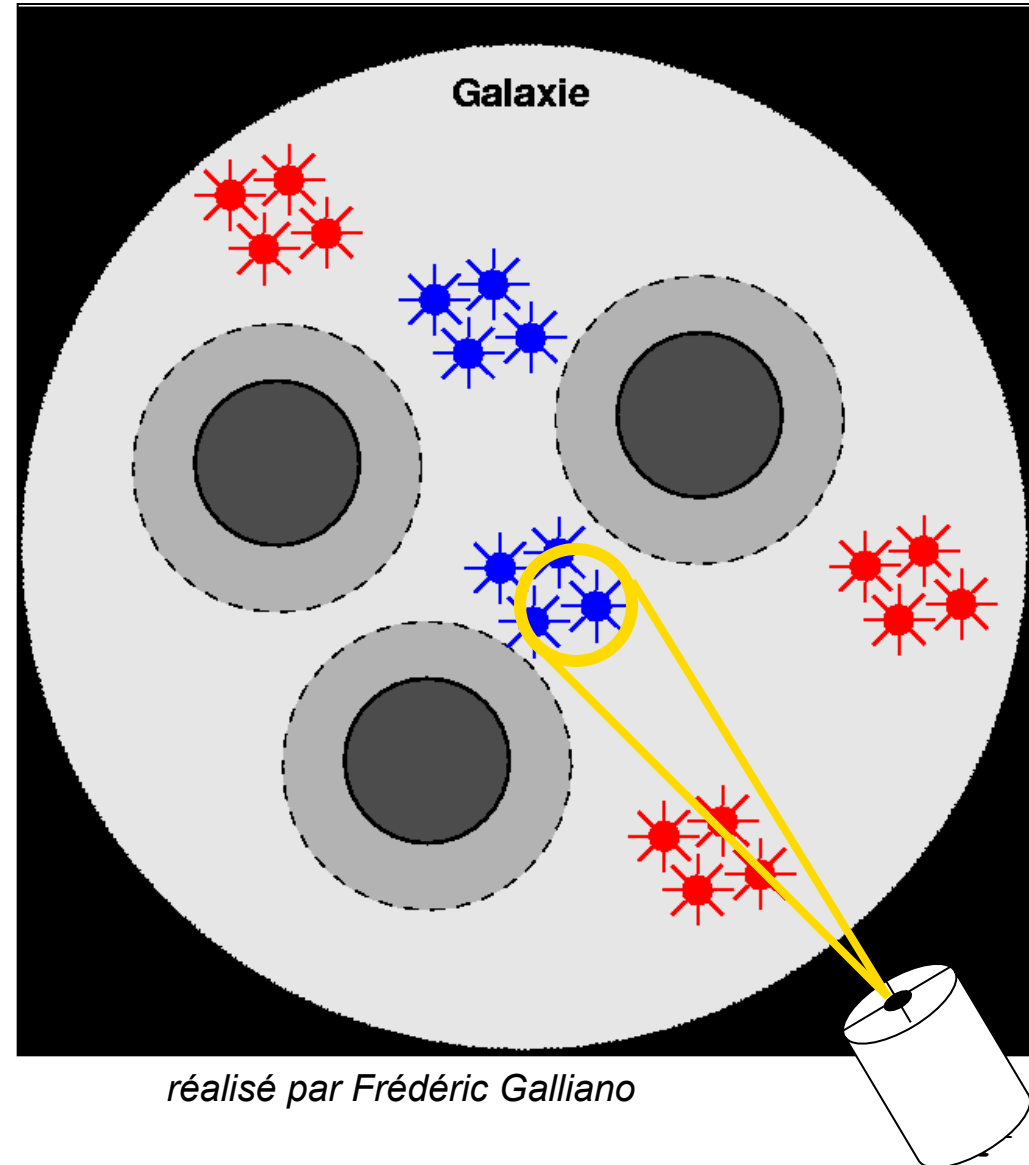


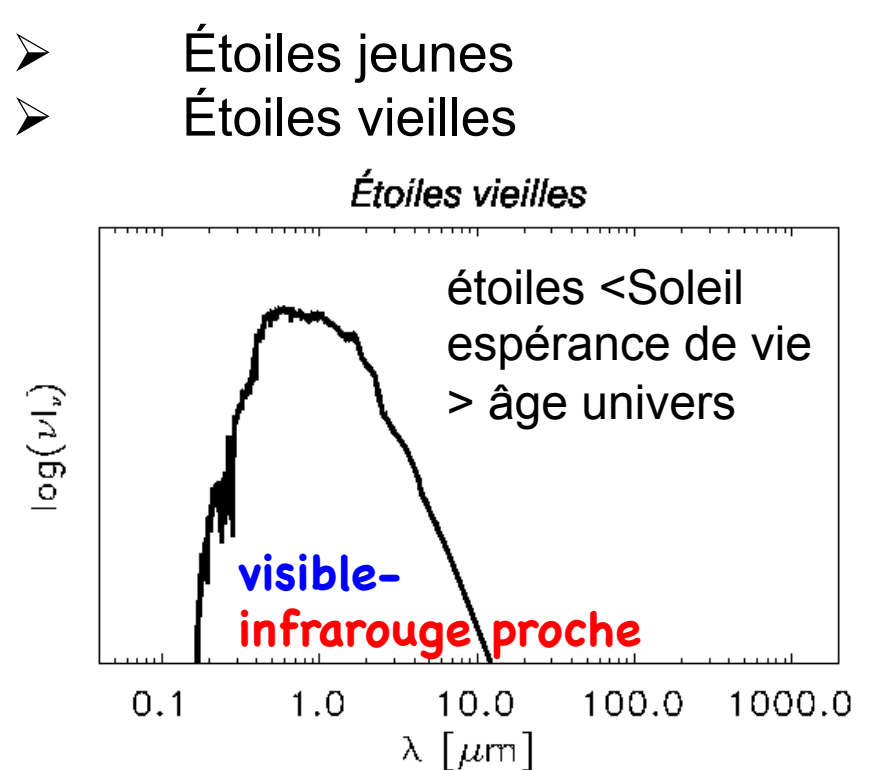


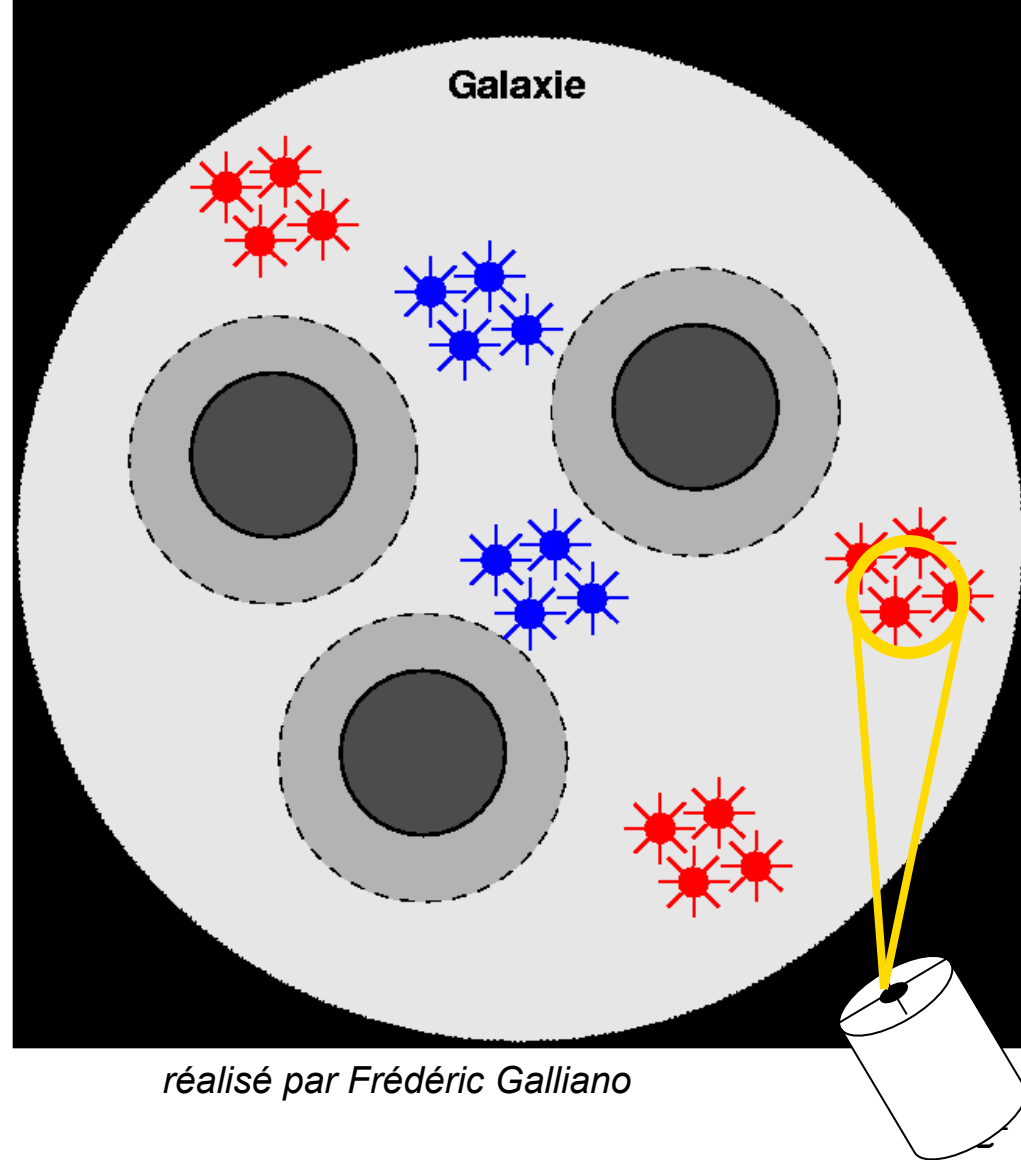




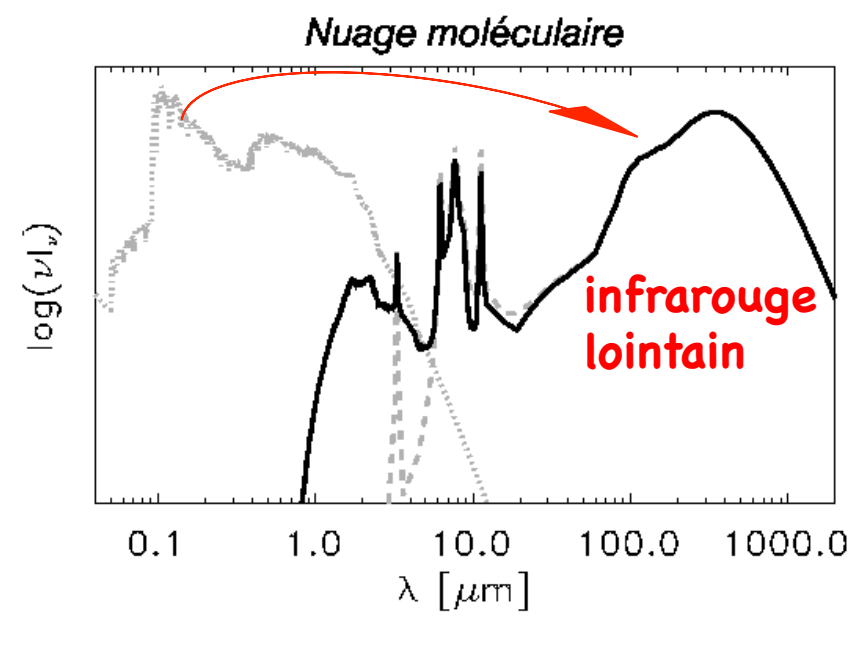


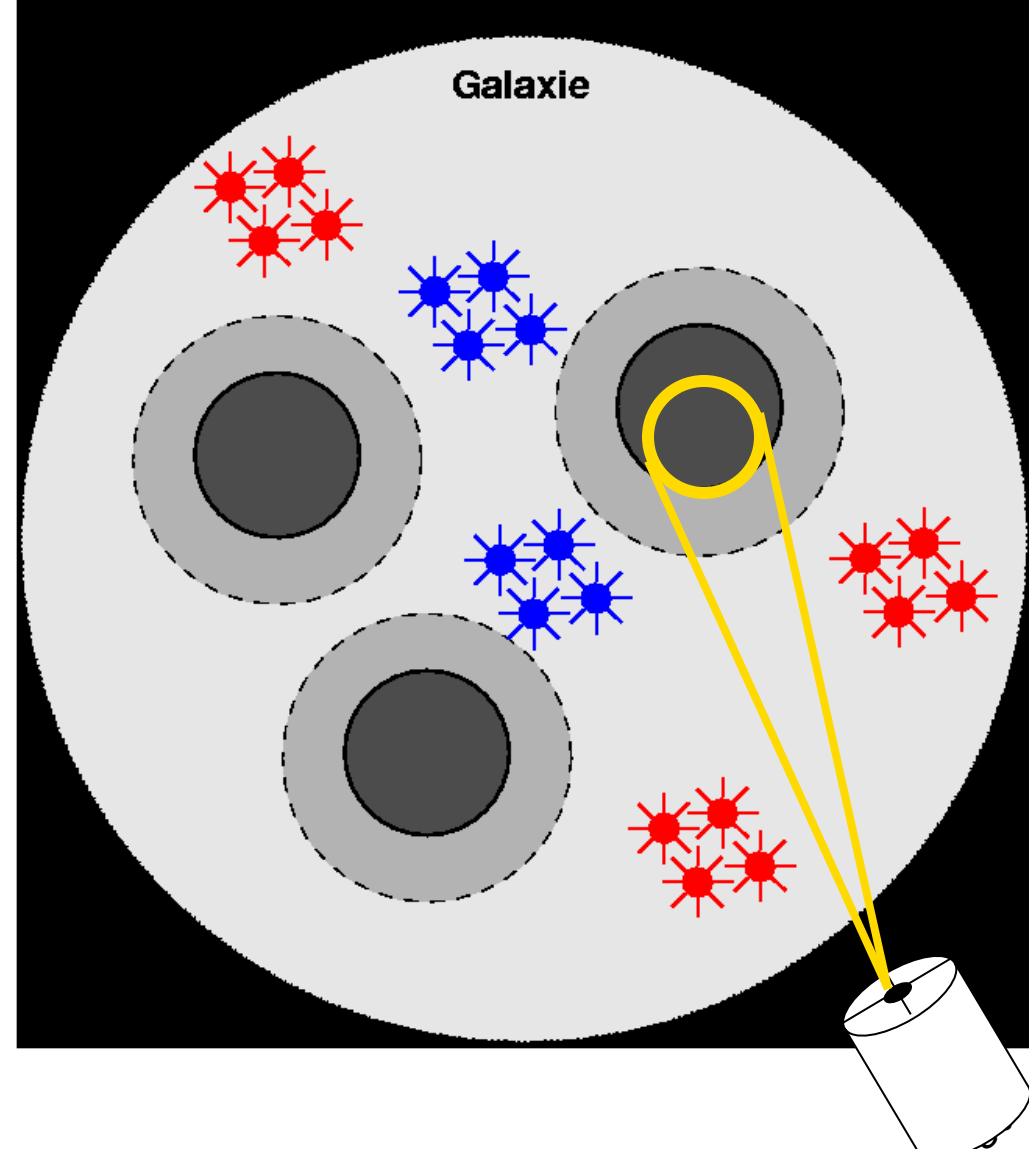




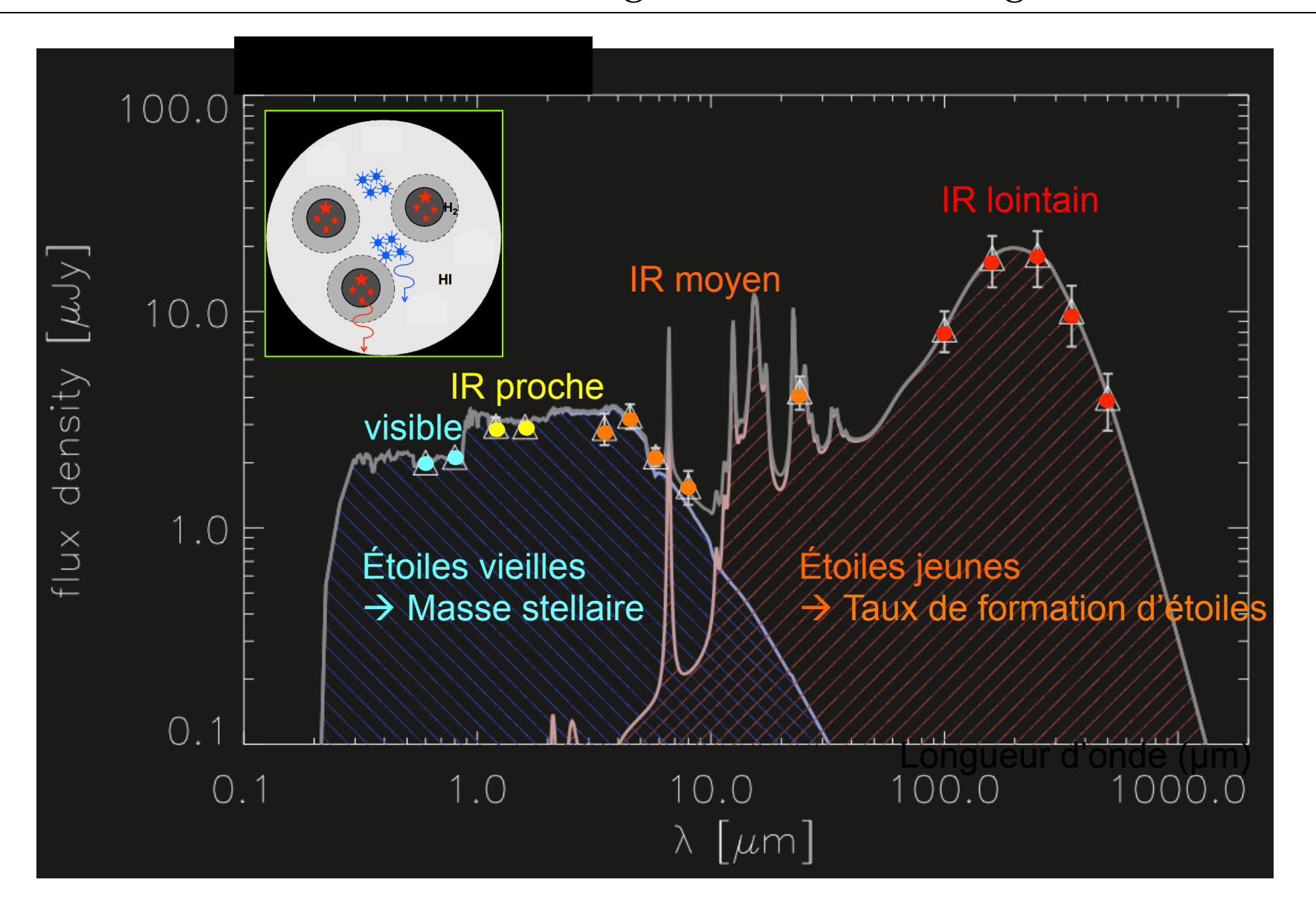


- Étoiles jeunes
- Étoiles vieilles
- Nuages moléculaires denses où naissent les étoiles

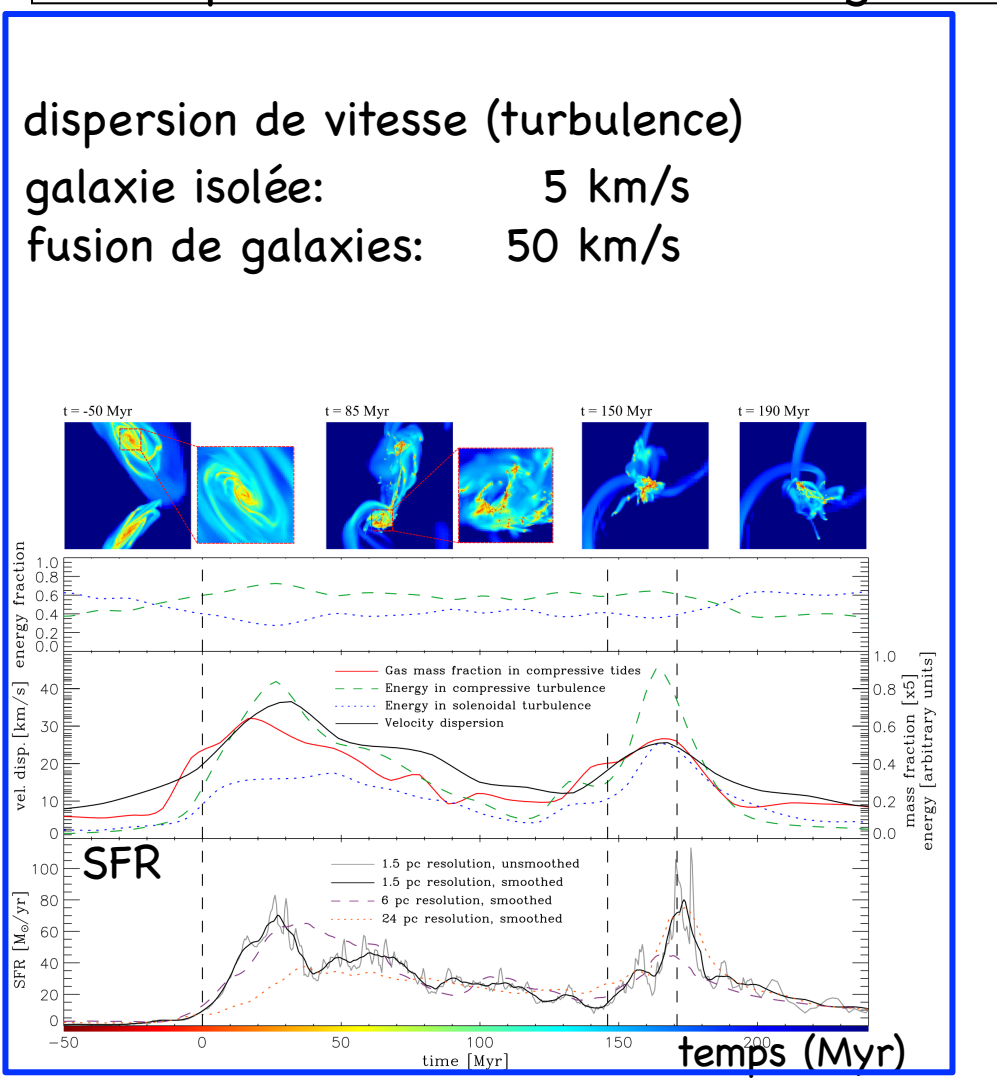




Décoder la lumière intégrée sur toute une galaxie

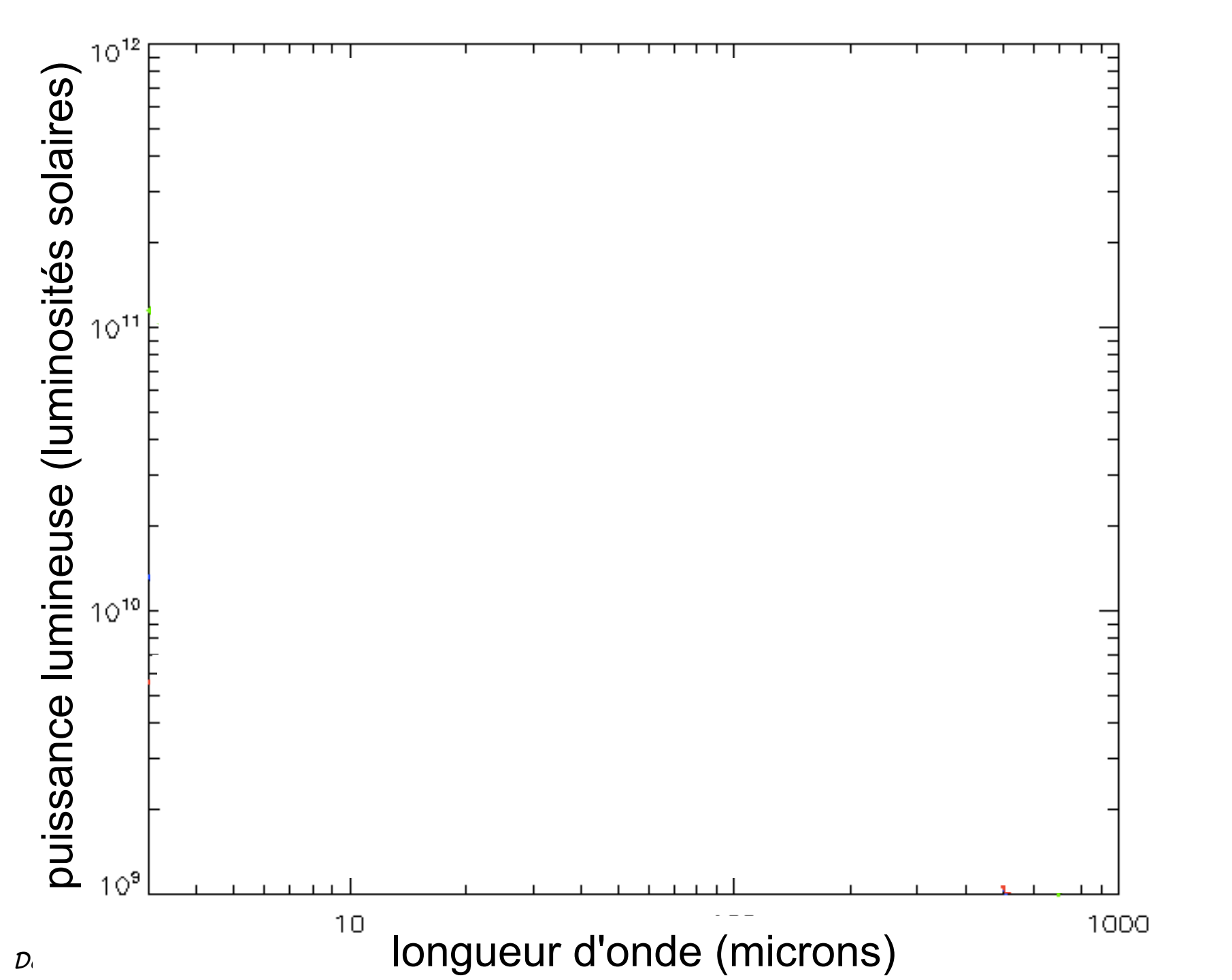


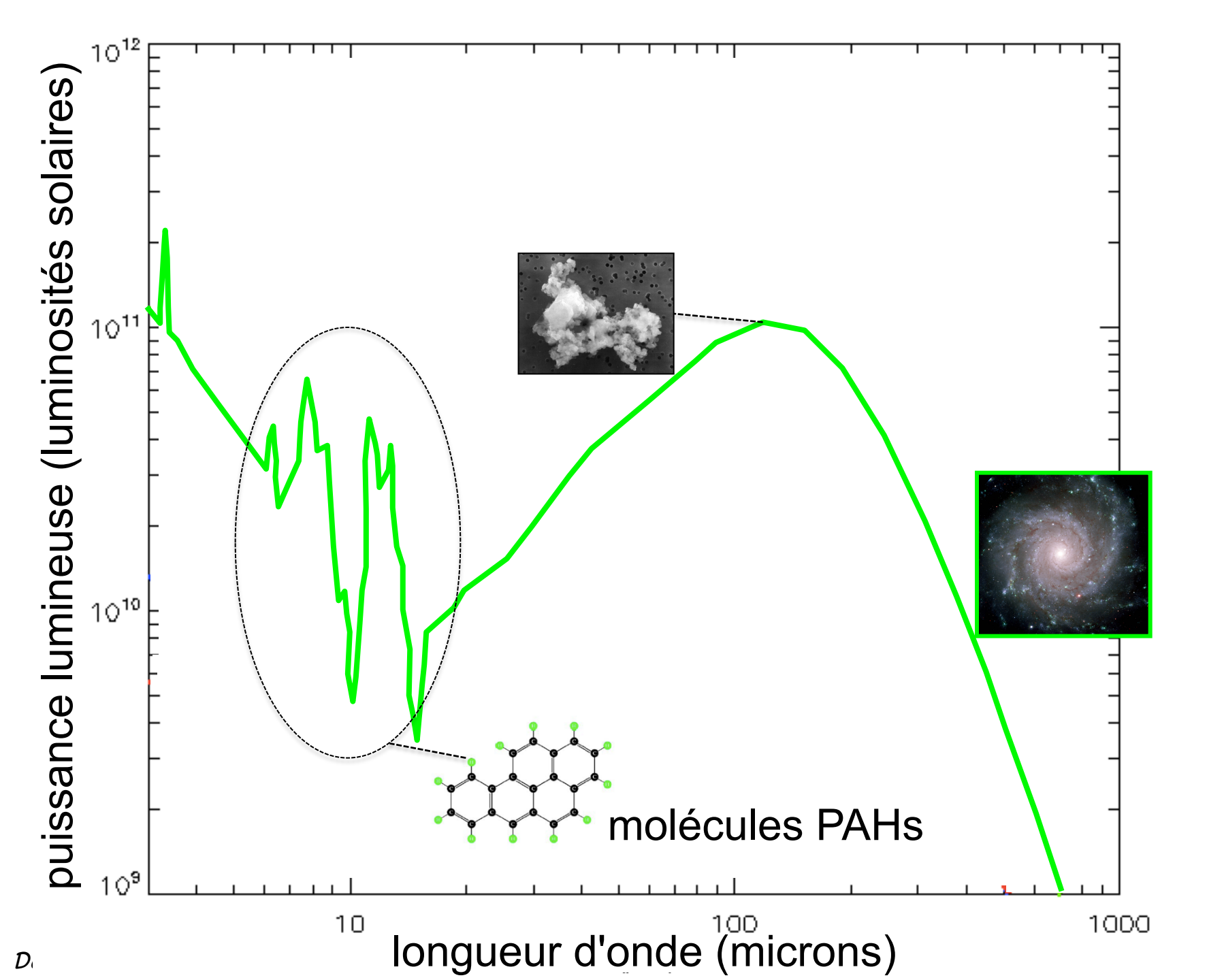
Starbursts provoqués par la fusion de galaxies: compression efficace dans les galaxies peu riches en gaz interstellaire

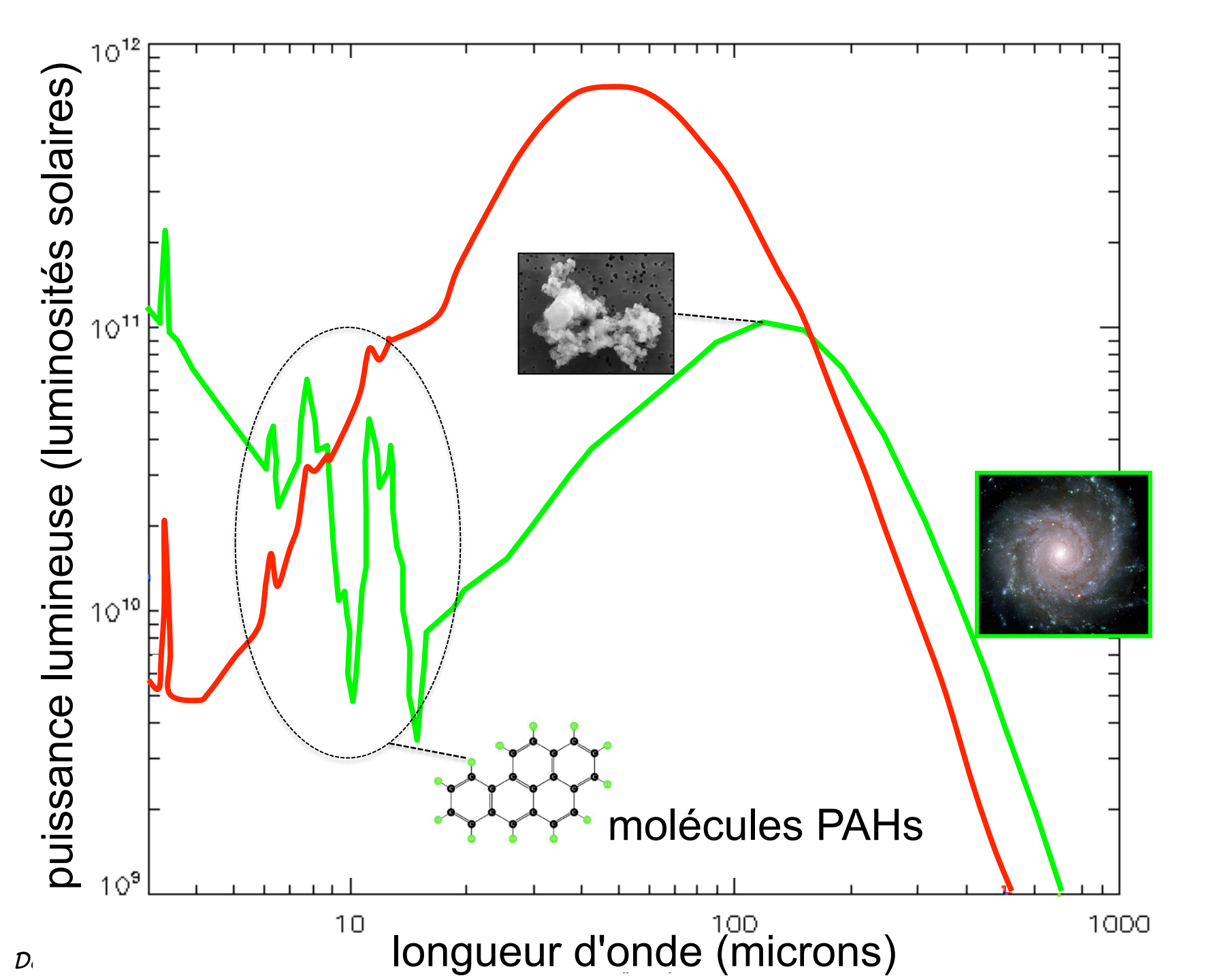


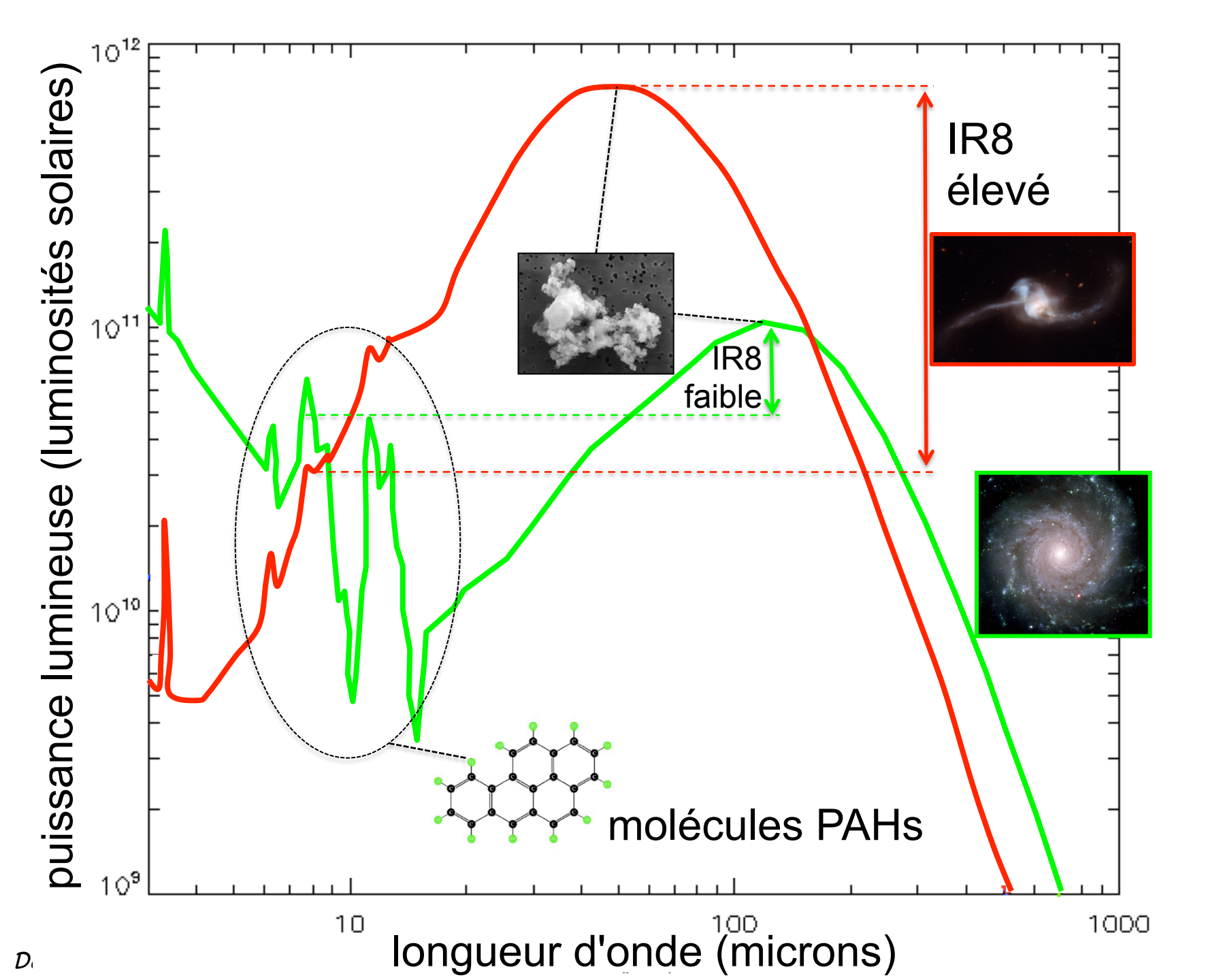


Renaud, Bournaud +2014 Prix La Recherche 2015

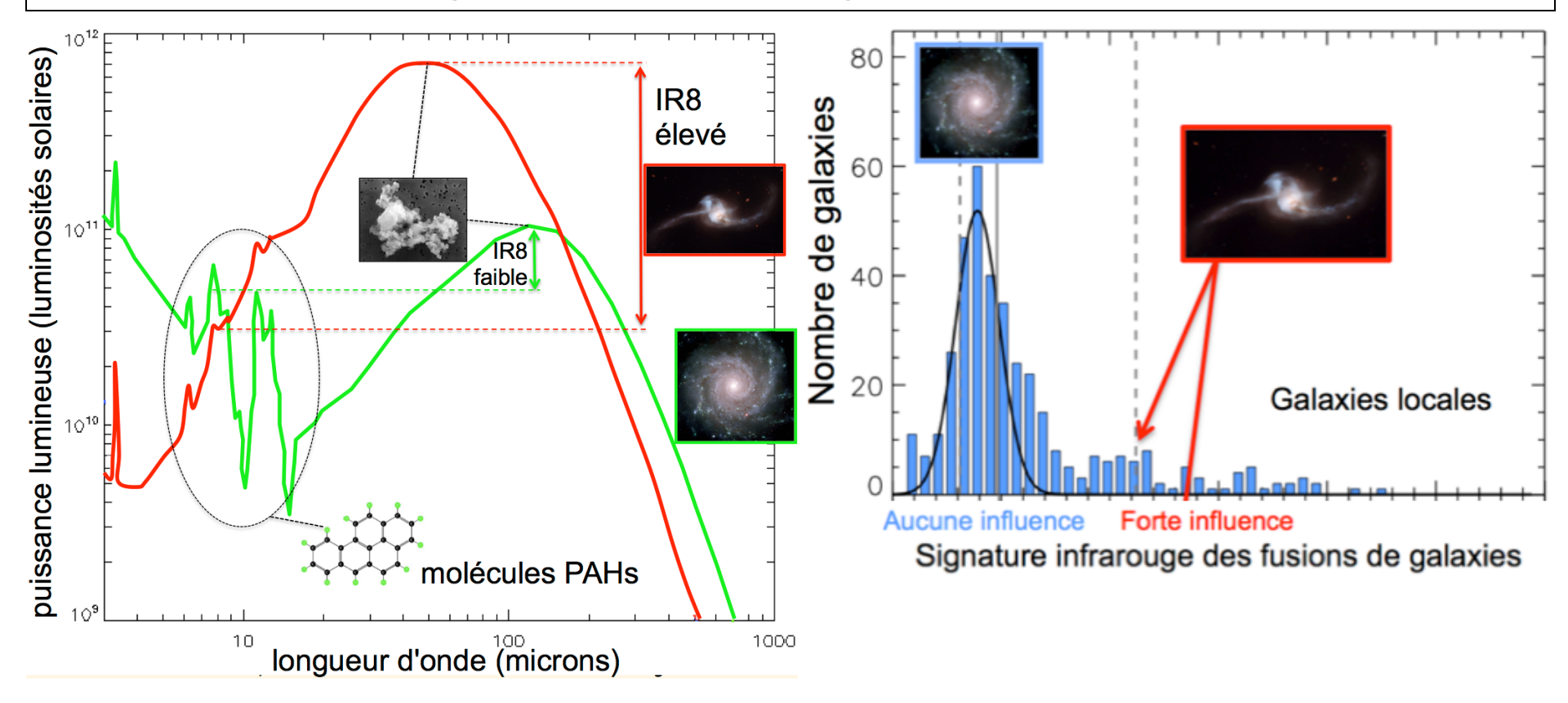








La signature infrarouge des starbursts



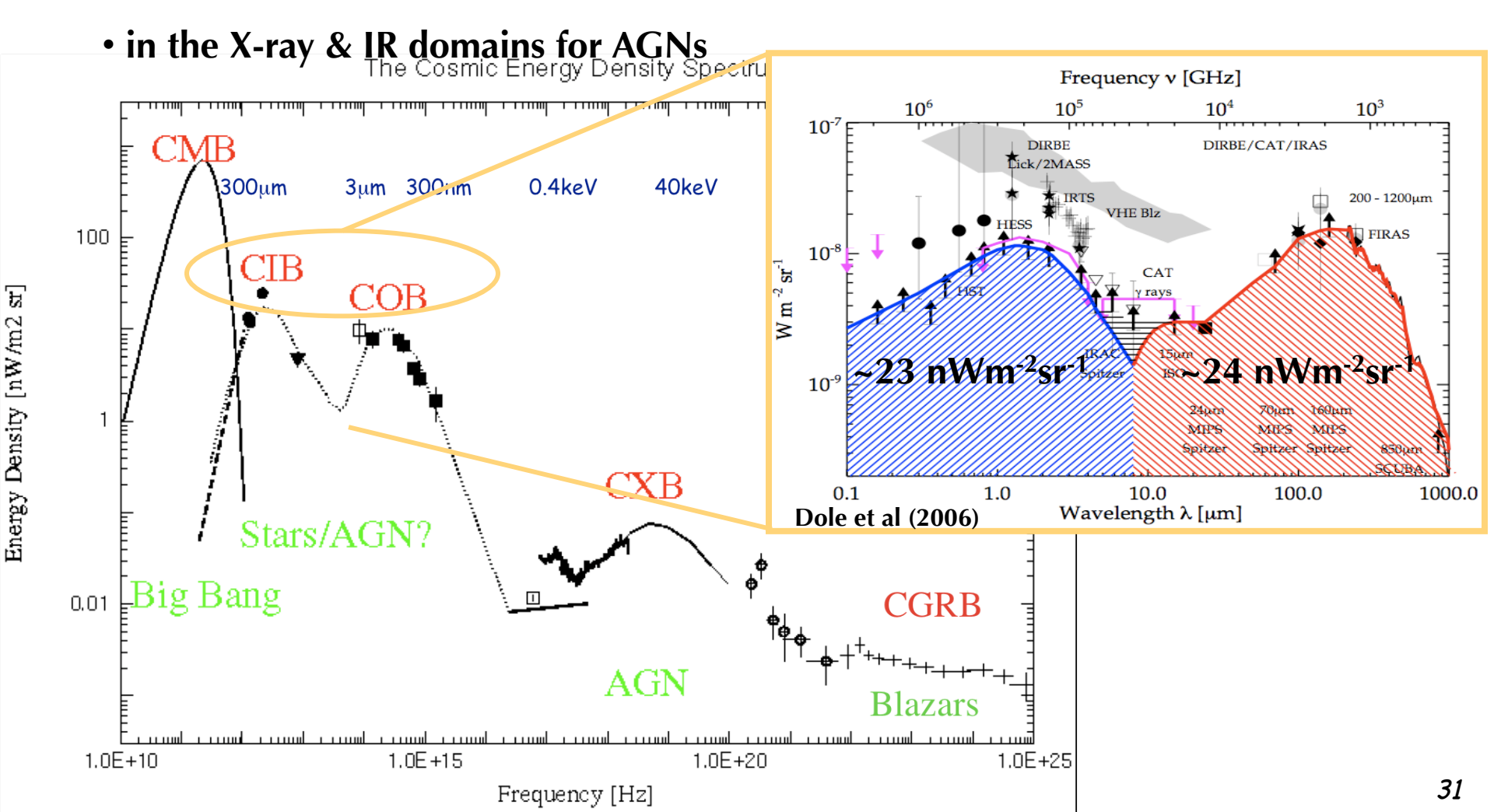
Global energetics: fossil memory (metals) vs background light

2 main sources of light after Big Bang-CMB:

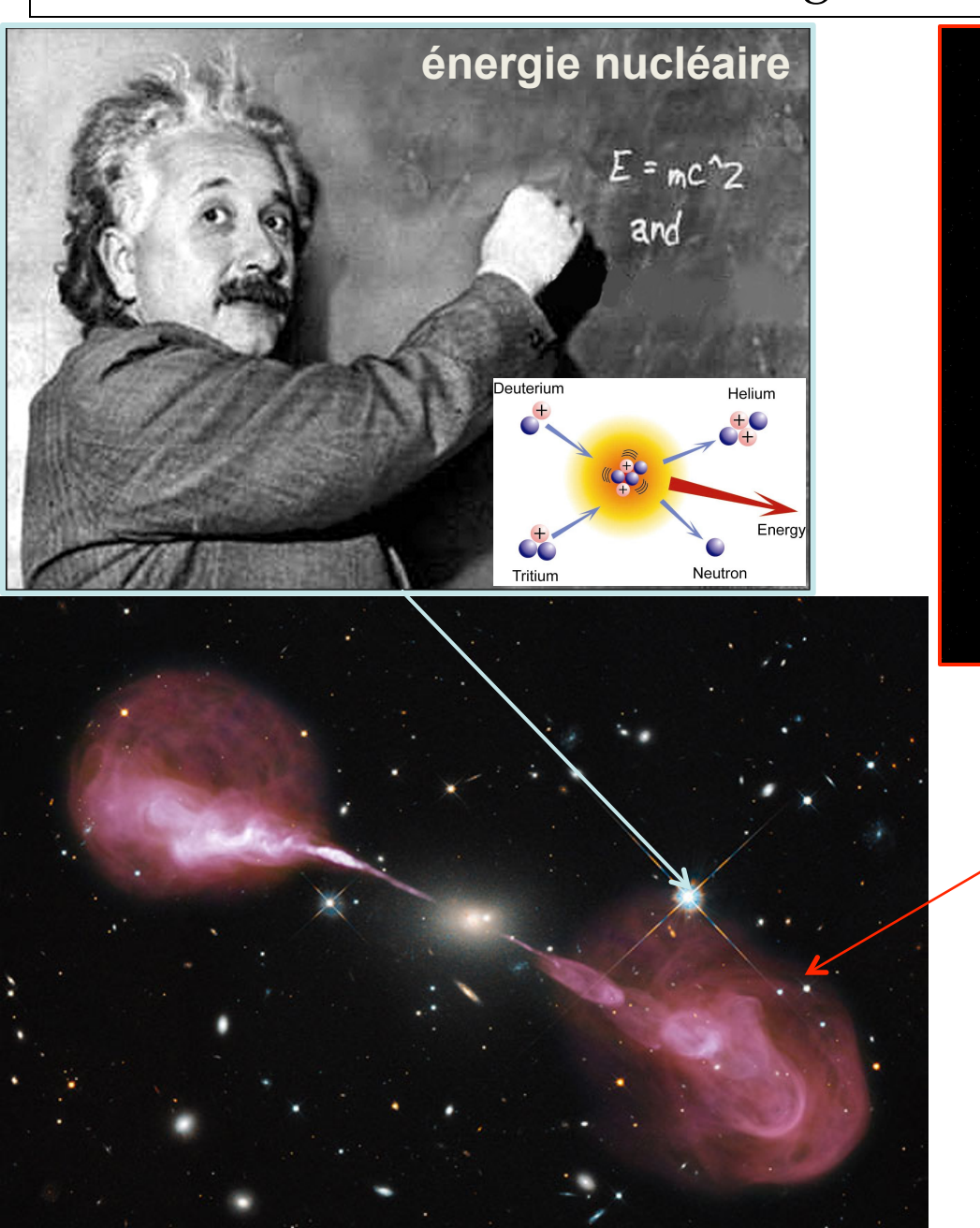
nucleosynthesis (stars) & accretion (black holes)

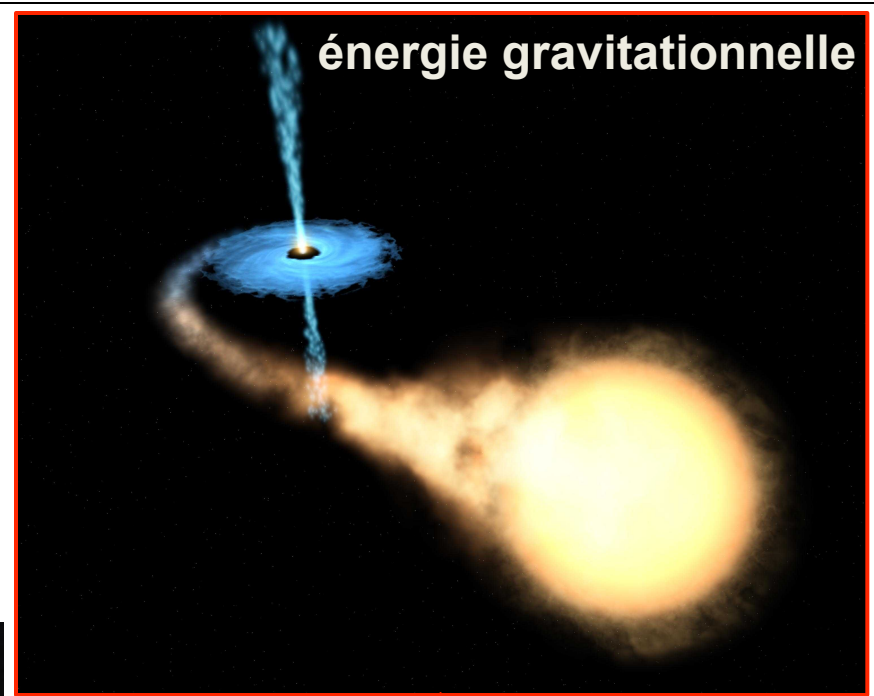
Their global energetic budget is well constrained by the Cosmic Backgrounds

in the UV to IR for star formation



Les 2 sources d'énergie lumineuse dans l'univers

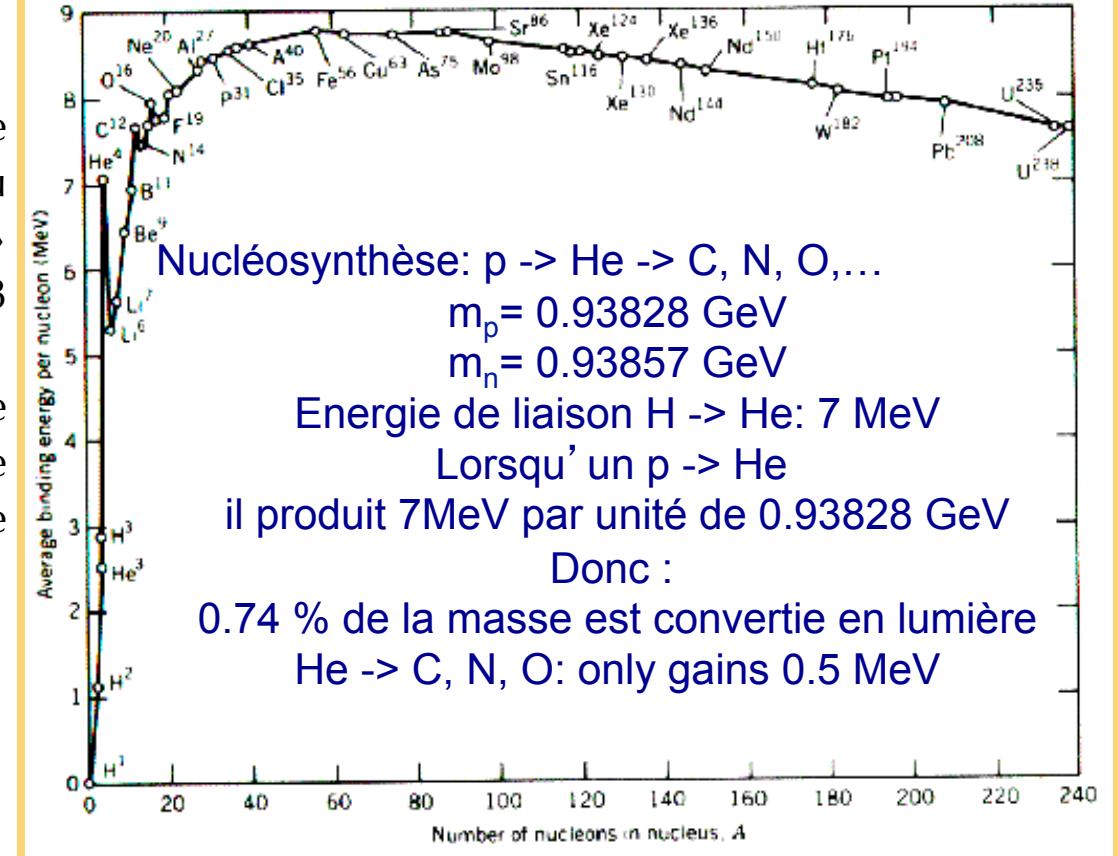




Budget énergétique

L'énergie de liaison par nucléon de l'hélium est de 7MeV/nucléon. Celle du fer-56, le noyau d'atome le plus « soudé » n'est pas beaucoup plus élevée, avec 8.8 MeV/nucléon.

Une étoile passe la plus grosse fraction de son temps à convertir de l'H en He. Cette réaction est la principale source de lumière stellaire dans l'univers.



Globalement le budget de la nucléosynthèse est : Energie rayonnée = $0.007 \times masse de \ll métaux \times x c^2$ [Joules] par unité de temps, quand dM « métaux » sont produits en dt : Luminosité rayonnée = d [$0.007 M_Z c^2$] / dt En réalité les « métaux » sont ici constitués de l'He non primordial et des métaux classsiques (C,N,O,Fe principalement).

La masse du proton et du neutron est de ~0.94 GeV, donc l'énergie de liaison rayonnée au cours de la fusion d'un proton pour donner de l'He est de 7MeV/0.94GeV=0.74% de sa masse (m_n= 0.93828 GeV, m_n= 0.93857 GeV), i.e. E = dM c².

La plupart de l'hélium est d'origine primordiale mais une partie a été générée par la nucléosynthèse stellaire. La valeur primordiale est de $Y_p = M_{He}/M_{totale} = 0.24$, mais on observe dans le Soleil $Y_{\odot} = 0.28$, donc **DY=0.04** ont été générés par les étoiles.

Dans le voisinage solaire, la **métallicité est de Z=M_{métaux}/M_{totale}=0.02** avec : ~60% d'oxygène (8 meV), ~7% de fer (8.6 MeV) et le reste de C,N principalement (7.5 MeV), ce qui fait un taux équivalent de ~ 7.9 MeV , i.e. **0.84** % (/0.94GeV).

Globalement, sur 1 kg de masse stellaire dans l'univers local, il y a donc 4% d'He non primordial et 2% de métaux, qui ont donné lieu à de la lumière. La quantité totale de lumière ainsi produite est:

He: 4% de 1 kg sont convertis en lumière avec une efficacité de 0.74% = 30 gr x c².

Métaux: 2% de 1 kg sont convertis en lumière avec une efficacité de 0.84%= 17 gr x c².

Globalement, 0.0074*0.04+0.0084*0.02= **0.0464%** de la masse est convertie en lumière 1 Joule = 1 kg m² s⁻², donc on a 46.4 x 10⁻³ x $(3x10^8)^2 = 4.2x10^{13}$ Joules/kg d'étoiles

Validation du raisonnement à l'échelle de la Voie Lactée

Globalement: 0.0464% de la masse est convertie en lumière (E=mc²)

Dans le cas de la Voie Lactée: $M_*=7.8 \times 10^{10} M_{\odot} \rightarrow 6.5 \times 10^{54} \text{ Joules } (M_{\odot}=2 \times 10^{30} \text{ kg})$

Si on suppose que cette énergie a été produite en continu sur les 12 Gyr d'âge de la V.L.:

$$L = 6.5 \times 10^{54} \, \text{Joules} \, / \, 31 \, 556 \, 926 \, \text{sec} = 1.72 \times 10^{37} \, \text{W} = 4.55 \times 10^{10} \, L_{\odot} \, (L_{\odot} = 3.826 \times 10^{26} \, \text{W})$$

Or $L_{bandel}(V.L.)=(3.8\pm0.6)x10^{10} L_{\odot}!!!$ (Flynn et al. 2006, MNRAS 372, 1149)

Le fond diffus cosmologique

A l'échelle de l'univers:

1. Mesurer la quantité d'He et de métaux par unité de volume (Mpc³) de l'univers local:

$$\rho_{m\acute{e}taux}$$
~ 2.5 x 10⁻³⁰ kg m⁻³ et ΔY =0.04=2Z => ρ_{He} ~ 5 x 10⁻³⁰ kg m⁻³ ETOILES

Les baryons sous la forme d'étoiles (+ restes stellaires) constituent une proportion d'étoiles (+ restes stellaires) de:

```
\begin{array}{lll} \Omega_{bulbes} &= \rho_{bulbes}/\rho_c &\sim 0.002600 \; h^{\text{-}1} & (\text{Fukugita, Hogan, Peebles 1998}) \\ \Omega_{disques} &= \rho_{disques}/\rho_c &\sim 0.000860 \; h^{\text{-}1} \\ \Omega_{irr\'eguli\`eres} &= \rho_{irr\'eguli\`eres}/\rho_c \sim 0.000069 \; h^{\text{-}1} \\ &\text{où: } \Omega = \rho/\rho_c \; \text{avec} \; \rho_c = 9.47 \; \text{x} \; 10^{\text{-}27} \; \text{kg} \; \text{m}^{\text{-}3} = 3 H_0^2/(8\pi G) \\ & (H_0 = 71 \; \text{km s-1Mpc}^{\text{-}1} \; ; \; G = 6.67 \text{x} 10^{\text{-}11} \; \text{m}^3 \; \text{kg}^{\text{-}1} \; \text{s}^{\text{-}2} \; ; \; h = H_0/100 = 0.71) \\ \end{array}
```

MILIEU INTERGALACTIQUE

Milieu intergalactique dans les amas de galaxies= milieu intra-amas: $\Omega_{ICM} = \rho_{ICM}/\rho_c$ ~ 0.0026 h⁻¹ Où Z_{ICM} =0.3 x Z_{\odot} = 0.006 => $\rho_{ICM}^{m\acute{e}taux}$ ~ 2.1 x 10⁻³¹ kg m⁻³

Milieu intergalactique dans les groupes de galaxies= milieu intra-groupes: $\Omega_{groupes} = \rho_{groupes}/\rho_c \sim 0.0056 \ h^{-1}$ Où $Z_{ICM} = 0.3 \ x \ Z_{\odot} = 0.006 => \rho_{groupes}^{métaux} \sim 4.5 \ x \ 10^{-31} \ kg \ m^{-3}$ => $\rho_{intergalactique}^{métaux} \sim 0.7 \ x \ 10^{-30} \ kg \ m^{-3}$ => ρ_{m} (métaux) $\sim 2.5 \ x \ 10^{-30} \ kg \ m^{-3}$

The local cosmic metal density

From previous considerations, we get:

$$\rho_Z = 25 \times 10^{-31} \text{ kg m}^{-3}$$

• Calura & Matteucci (2004, MNRAS 350, 351):

$$\begin{split} \rho_Z &= 9.37 \times 10^6 \ \text{M}_\odot \ \text{Mpc}^{\text{-3}} \\ &= 9.37 \times 10^6 \times 1.989 \times 10^{30} \ / \ (3.0856 \times 10^{22})^3 \ \text{kg m}^{\text{-3}} \\ \rho_Z &= 6.34 \times 10^{\text{-31}} \ \text{kg m}^{\text{-3}} \end{split}$$

Mushotzky & Lowenstein (1997) :

$$\rho_Z = 1.4 \times 10^7 M_{\odot} Mpc^{-3} = 9.5 \times 10^{-31} \text{ kg m}^{-3}$$

• Zepf & Silk (1996):

$$\rho_{Z} = 4 \times 10^{7} M_{\odot} \text{ Mpc}^{-3} = 27 \times 10^{-31} \text{ kg m}^{-3}$$

• Madau et al. (1996):

$$\rho_7 = 5.4 \times 10^6 M_{\odot} \text{ Mpc}^{-3} = 3.7 \times 10^{-31} \text{ kg m}^{-3}$$

• So globally, we get:

$$\rho_{7} = [4 - 27] \times 10^{-31} \text{ kg m}^{-3} = [1.5 \pm 1.1] \times 10^{-30} \text{ kg m}^{-3}$$

Le fond diffus cosmologique

- 1. Mesurer la quantité d' He et de métaux par unité de volume (Mpc³) de l'univers local: $\rho_{\text{métaux}} \sim 2.5 \times 10^{-30} \text{ kg m}^{-3}$ (cf diapo précédente) et $\Delta Y = 0.04 = 2Z = > \rho_{\text{He}} \sim 5 \times 10^{-30} \text{ kg m}^{-3}$
- 2. En déduire la quantité totale de lumière produite par unité de volume :

$$\rho_{L}=\rho_{lum}~x~c^{2}$$
 [J m $^{\text{-}3}$] $~o\grave{u}~\rho_{lum}\text{=}[0.0074~x~\rho_{He}+0.0084~x~\rho_{m\acute{e}taux}]$

3. Sur Terre, on mesure un fond diffus par u. de surface et par stéradian: en W m⁻² sr⁻¹. Ce fond nous arrive sur la totalité du ciel = 4π stéradians :

$$\varepsilon_1 = \rho_{lum} \times c^2 / 4\pi$$
 [J m⁻³ sr⁻¹]

4. La lumière nous arrive à la vitesse « c », donc sur une surface collectrice de 1 m² on reçoit la lumière contenue dans « c » m³ par seconde:

$$I = \rho_{lum} \times c^3 / 4\pi [W m^{-2} sr^{-1}]$$

- 5. Mais on mesure $h\nu_{observ\acute{e}}$, ce qui est émis est $h\nu_{emitted}$: $h\nu_{obs} = h\nu_{em} / (1+z_{em})$ $I = \rho_{lum} x c^3 / (4\pi x (1+z))$ [W m⁻² sr⁻¹] du fait de l'expansion de l'univers
- ⇒ $I = [0.0074x5x10^{-30} + 0.0084x \ 2.5x10^{-30}]x(3x10^8)^3/(4\pi x(1+z)) = 125/(1+z) [nW m^{-2} sr^{-1}]$
- → Si on suppose que le redshift moyen d'émission est de $z\sim1$ -> I ~ 62 [nW m⁻² sr⁻¹]
- → Pour la valeur moyenne de $\rho_{\text{métaux}}$ ~ (4 27) x 10⁻³¹ kg m⁻³ : I ~ 40 ± 30 [nW m⁻² sr⁻¹]

Comparaison au fond diffus mesuré...

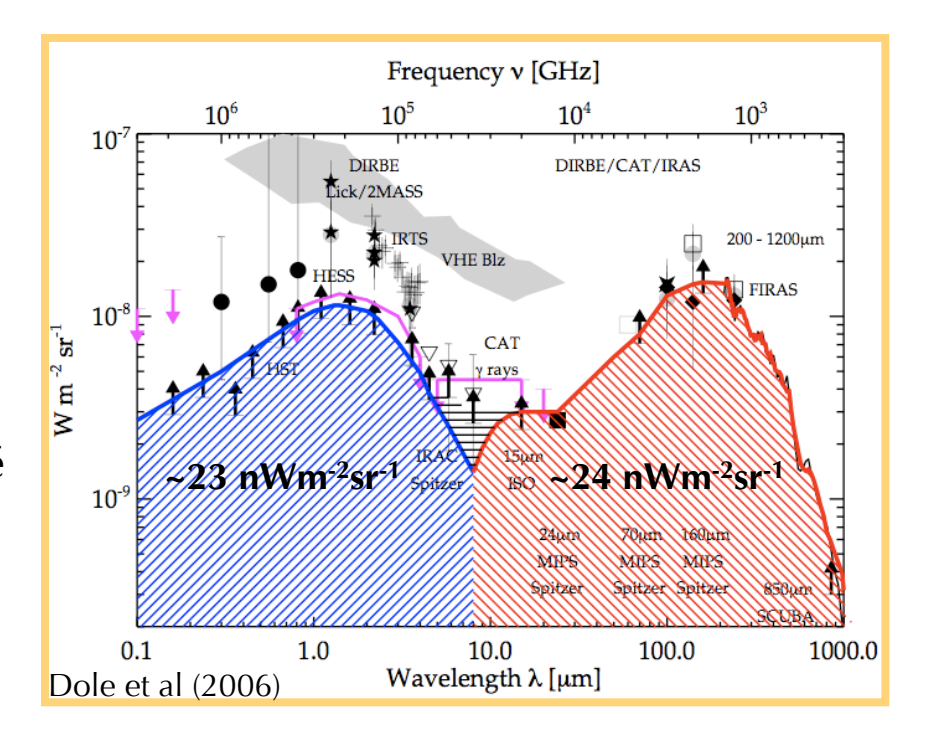
On a vu que : $I = \rho_{lum} x c^3 / (4\pi x (1+z))$ [W m⁻² sr⁻¹]

 \rightarrow 125/(1+z) [nW m⁻² sr⁻¹]

où z est le redshift typique auquel les éléments ont été formés.

- →Si on suppose que le zmoyen d'émission z~1 :
- \rightarrow I ~ 62 [nW m⁻² sr⁻¹]
- →EN prenant en compte l'incertitude sur la densité

de métaux $I \sim 40 \pm 30$ [nW m⁻² sr⁻¹]



Le fond diffus cosmologique nous donne une idée du budget total de l'énergie rayonnée au cours de l'univers.

On constate que celui-ci est du même ordre de grandeur que l'énergie qui a été rayonnée par les étoiles dans l'univers pour produire la quantité de métaux observés.

Global energetics: fossil memory (metals) vs background light

Contribution of "Black Holes" to the cosmic background light:

$$M_{\rm BH} \sim 2 {\rm x} 10^{-3} {\rm x} \ M_{*} (bulges) \ \& \rho_{\rm bulges} \sim 3.5 {\rm x} \ 10^{-29} {\rm kg \ m}^{-3}$$

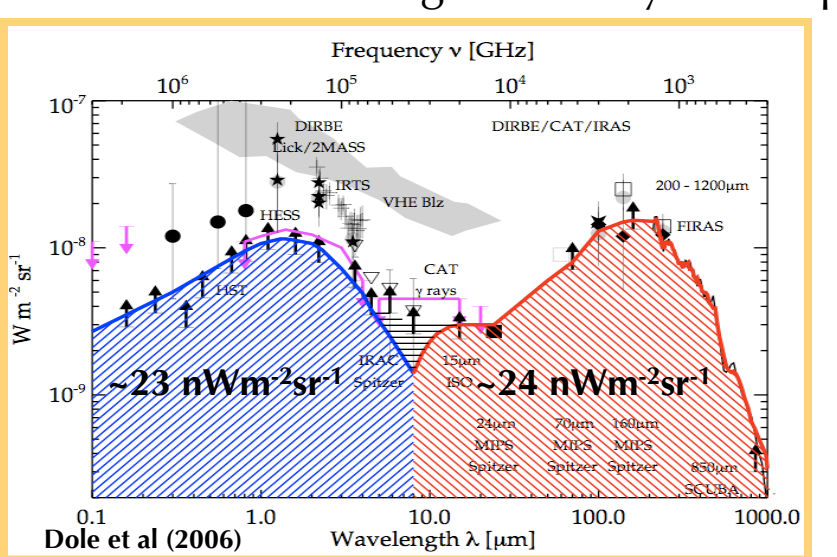
=> $\rho_{\rm BH} \sim 4.6 \ [-1.4,+1.9] {\rm x} \ 10^{-32} {\rm kg \ m}^{-3} \ (Marconi \ \& \ Hunt \ 08)$

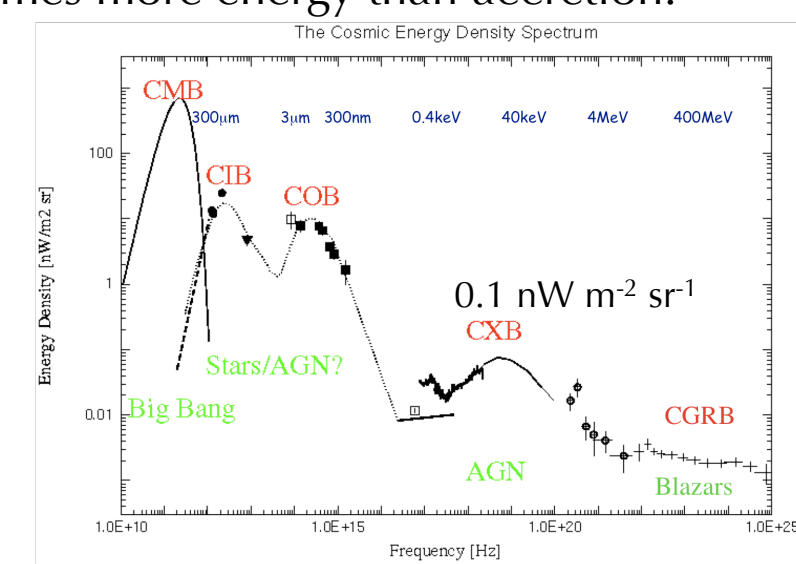
Gravitational accretion (SMBH growth) converts mass into light with an efficiency of $\eta \sim 5-10 \%$ & $IGL_{SMBH} = \eta \times \rho_{BH} c^3 / (4\pi \times (1+z)) = 9\pm5 / (1+z) \text{ nW m}^{-2} \text{ sr}^{-1}$

 IGL_{SMBH} ~ 5±3 nW m⁻² sr⁻¹ For $z\sim 1$, we get : To be compared to: $IGL_{nucleosynthesis} \sim 40\pm30 \text{ nW m}^{-2} \text{ sr}^{-1}$

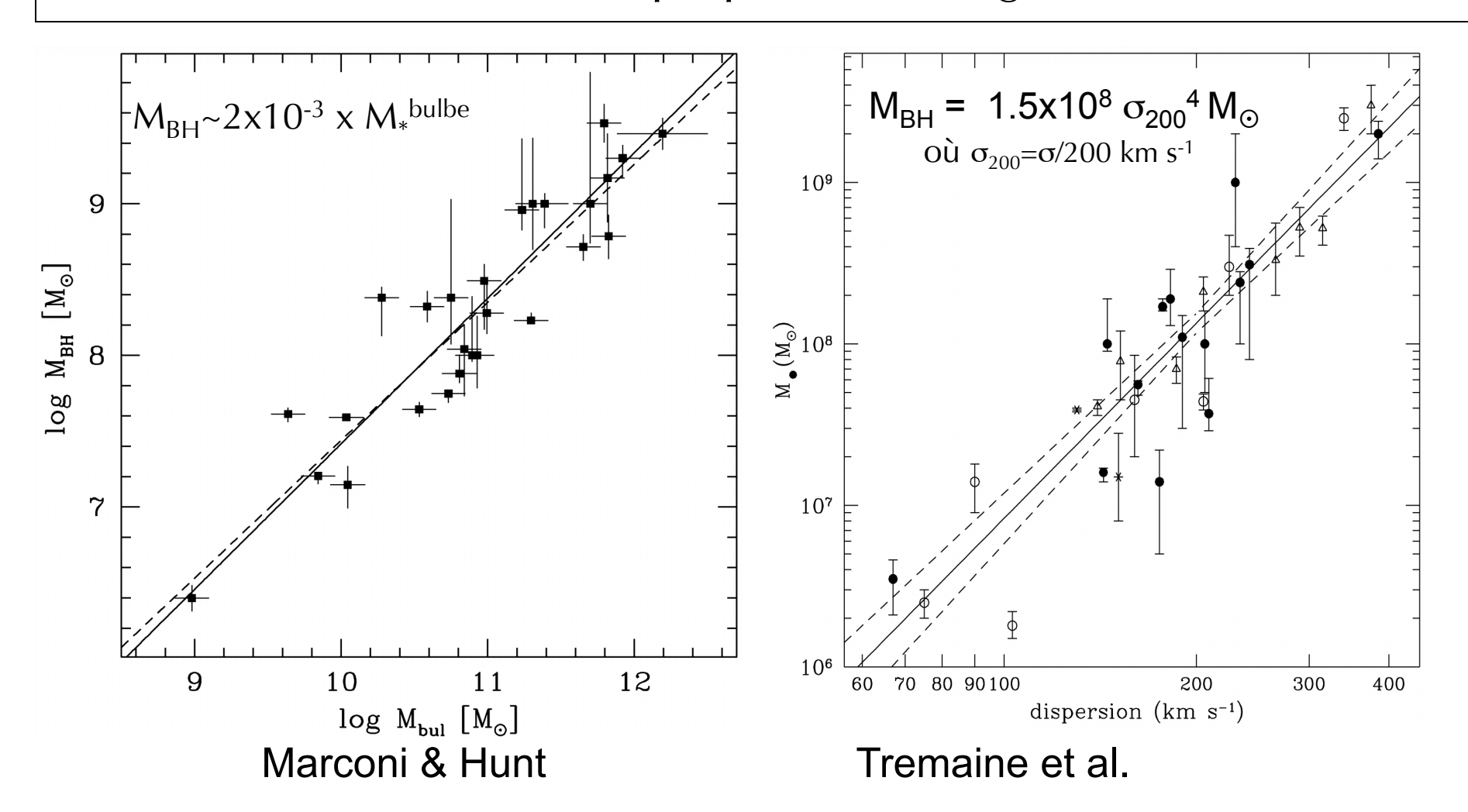
Per unit mass accretion is 10 times more efficient than nucleosynthesis (~7% vs 0.7%)

But on average nucleosynthesis produces 10 times more energy than accretion.



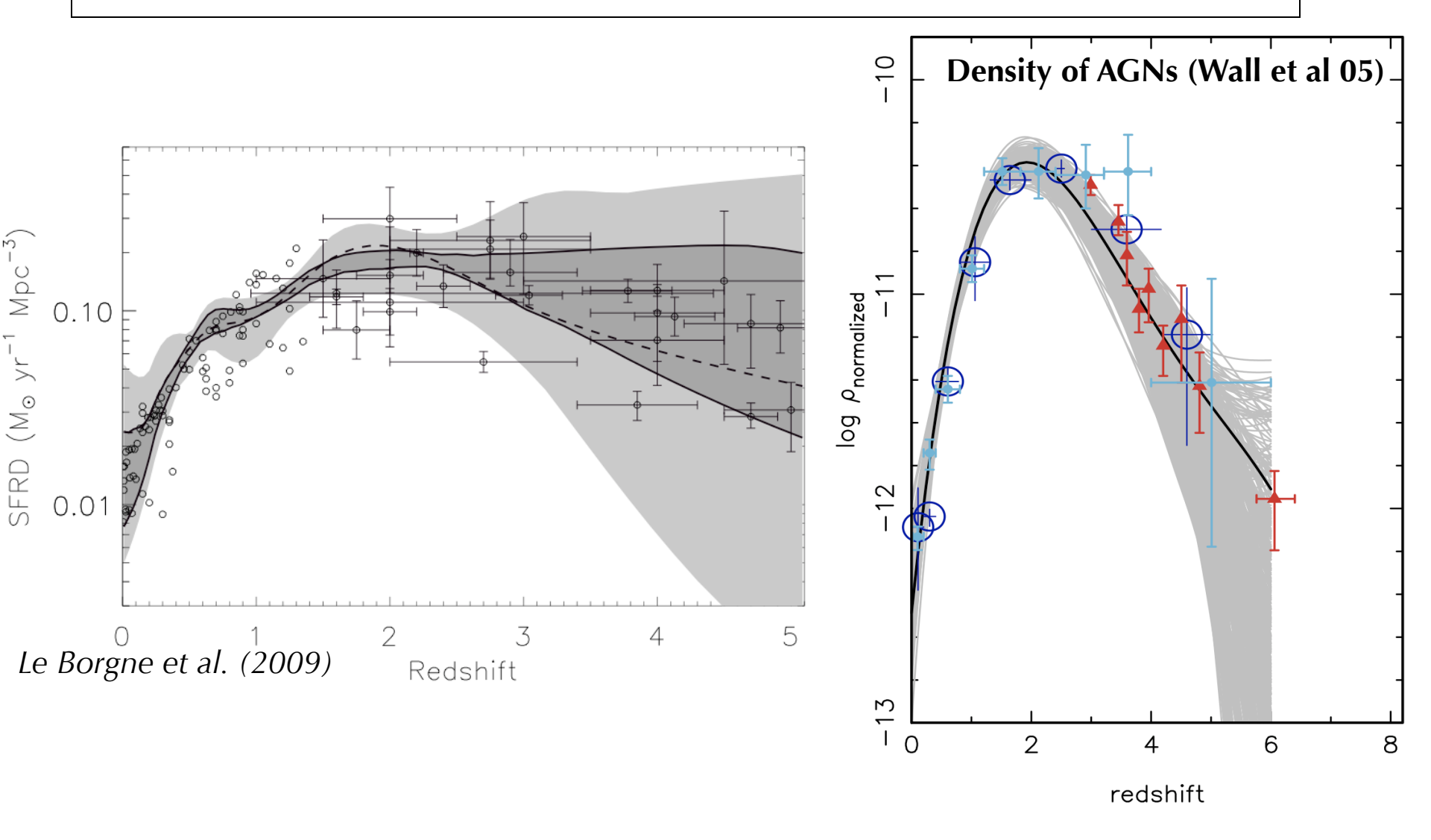


La masse des Trous Noirs Supermassifs au centre des galaxies est fortement liée aux propriétés de la galaxie-hôte

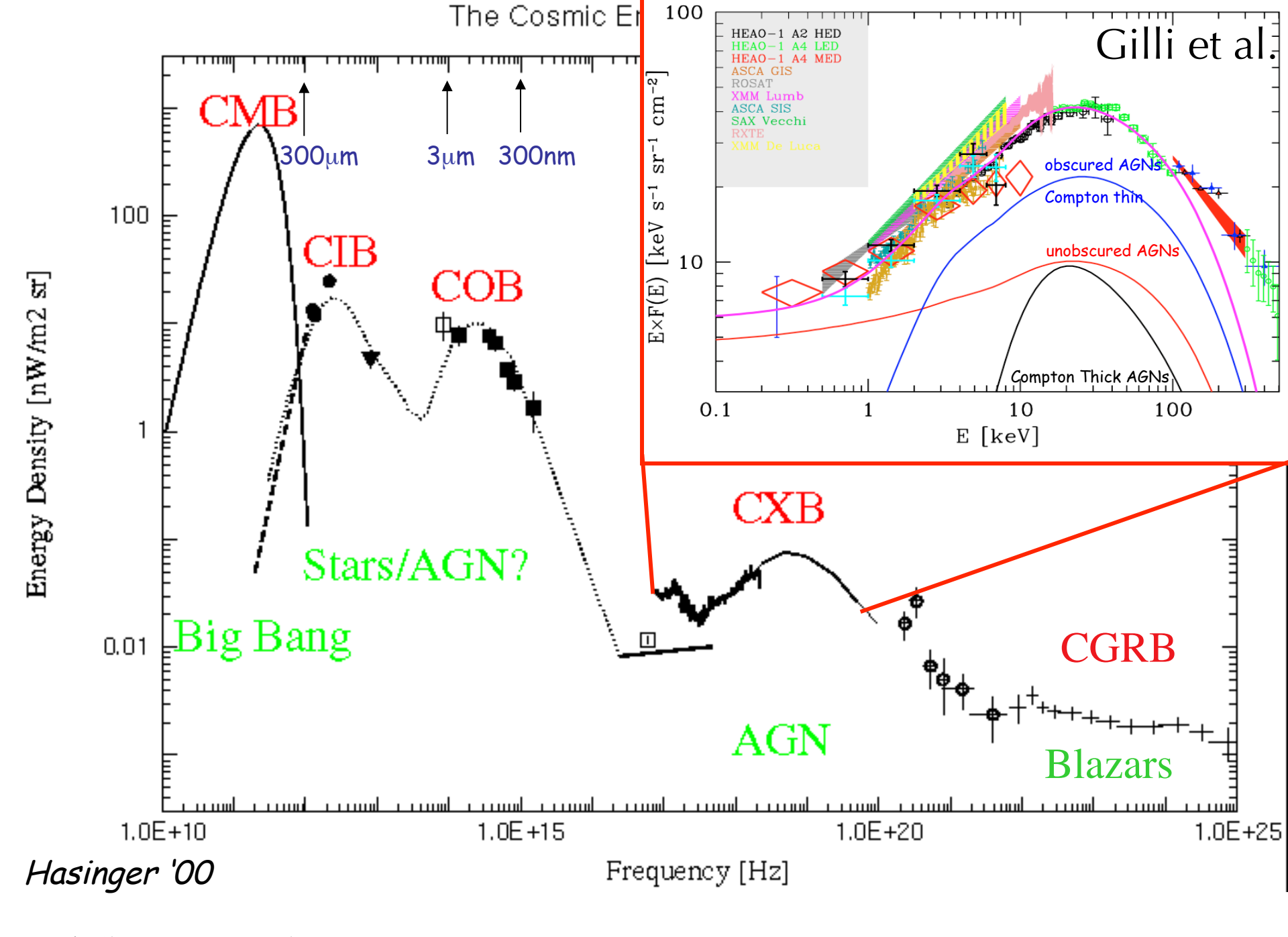


Gebhardt et al. (2000), Ferrarese & Merritt (2000) c.f. Magorrian (1998)

Cosmic history of star formation vs accretion



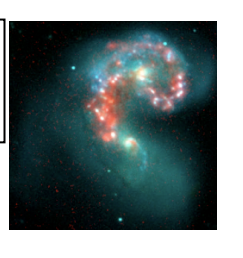
Wang et al. 08

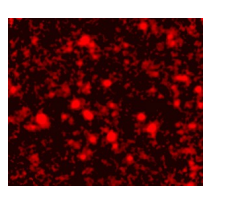


IRAS: 57 cm 25 jan.1983



IRAS révèle l'existence de galaxies ultralumineuses IR Toutes sont produites par des fusions de galaxies

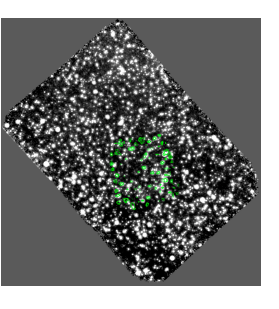




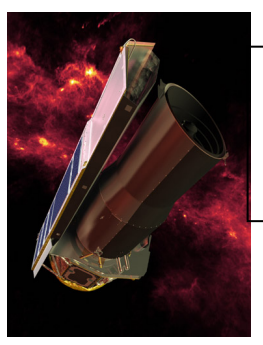
ISO: 60 cm 17 nov.1995



La majorité des étoiles présentes sont nées au cours d'une phase (ultra) lumineuse dans l'IR

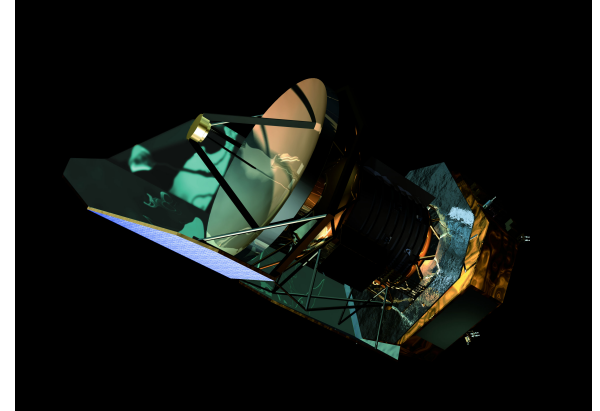


Spitzer: 85 cm 25 august 2003



Cette phase est responsable du fond diffus IR cosmologique
Une partie (mineure) vient de noyaux actifs





Le fond diffus cosmologique infrarouge

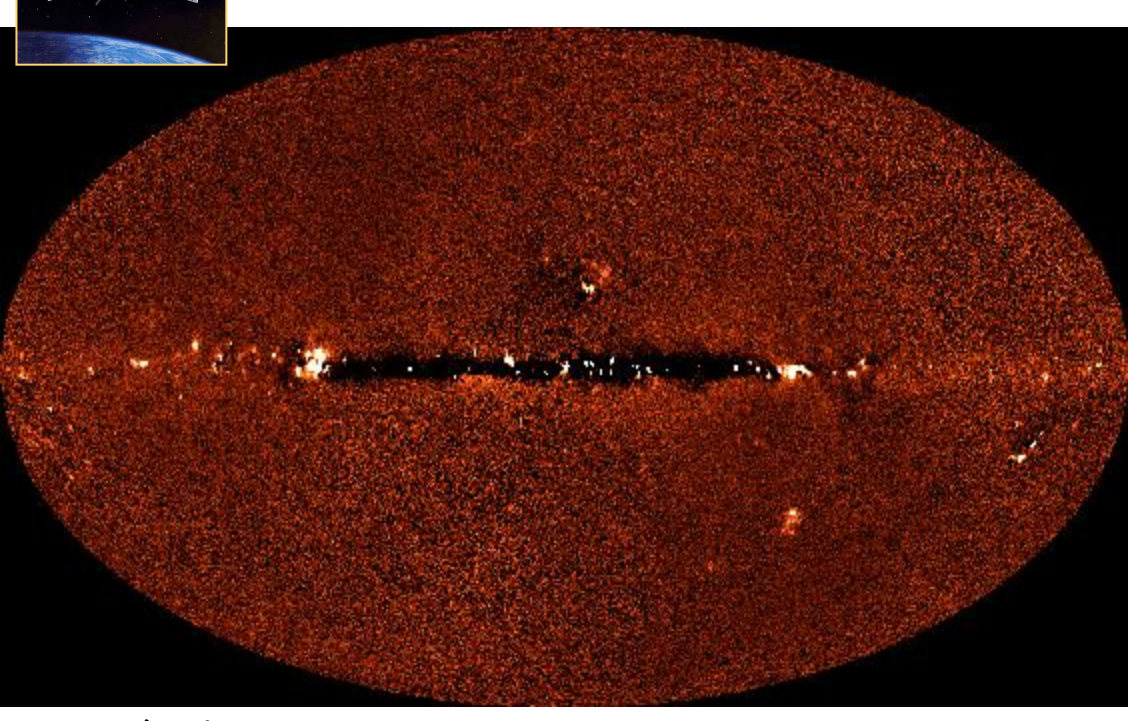
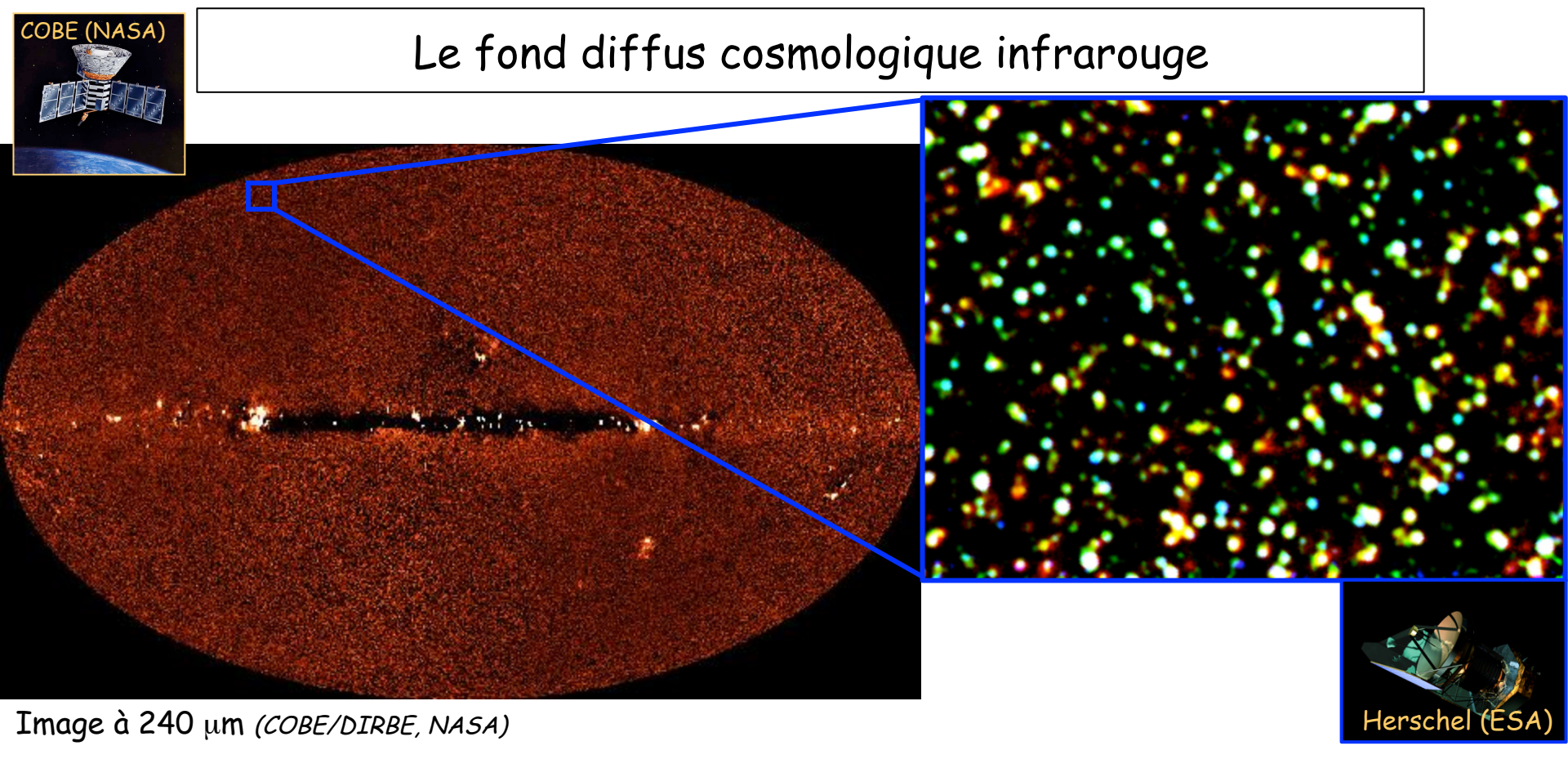


Image à 240 µm (COBE/DIRBE, NASA)

COBE (NASA)

=5% du fond diffus cosmologique dû au Big Bang (3000K, 380 000 ans après le Big Bang)



Le fond diffus cosmologique infrarouge

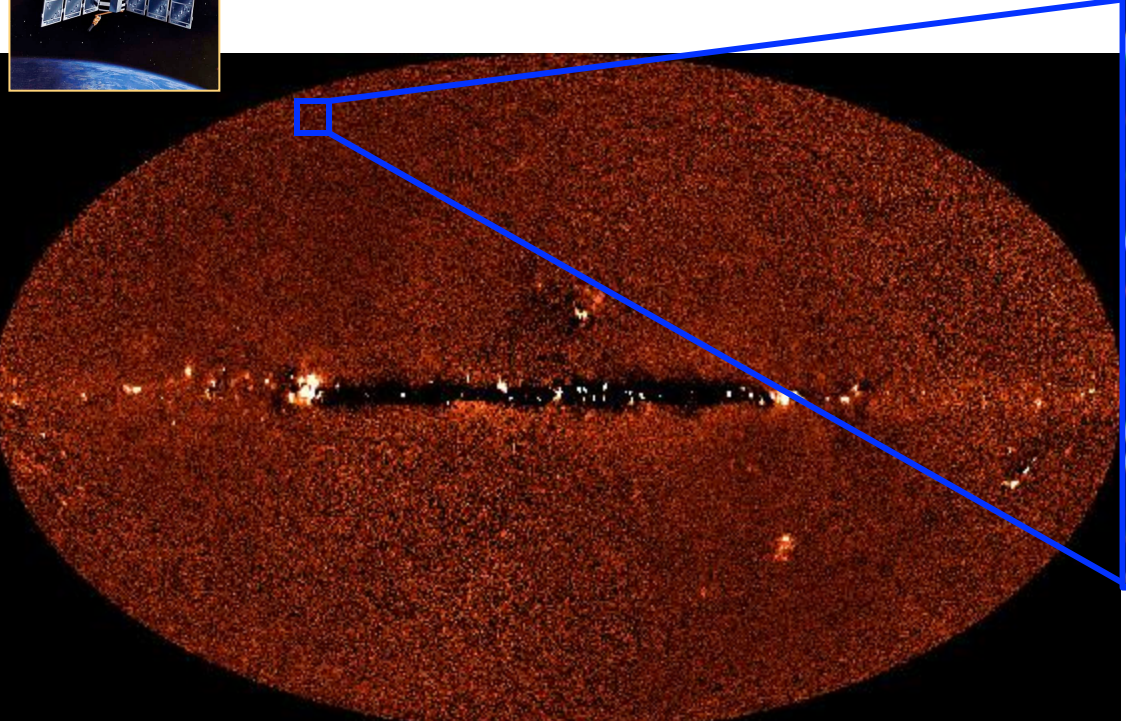
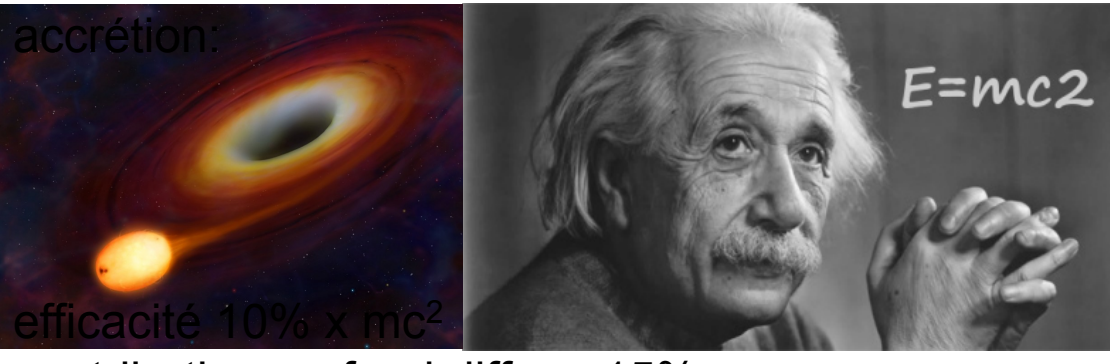


Image à 240 µm (COBE/DIRBE, NASA)

COBE (NASA)



contribution au fond diffus: 15%

